arXiv:1608.06343v1 [physics.ins-det] 23 Aug 2016

TECHNISCHE UNIVERSITÄT MÜNCHEN

Entwicklung eines Gasmoderators für Positronen

Benjamin Löwe

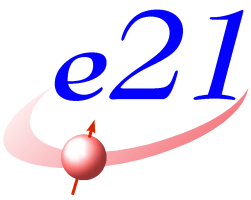

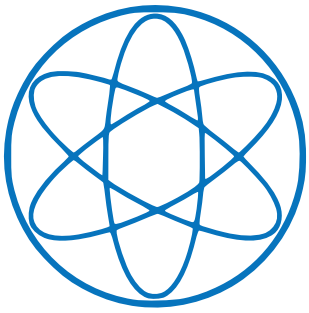

Physik Department
Lehrstuhl E21
Technische Universität München

Dezember 2007

Inhaltsverzeichnis

1. Einleitung **5**

2. Das Positron: Sondenteilchen in der Festkörperphysik **7**
2.1. Eigenschaften des Positrons . . . 7
2.2. Positronenquellen . . . 8
2.2.1. β^+-Emitter . . . 8
2.2.2. Positronen durch Paarbildung . . . 10
2.3. Positronenstrahlführung . . . 11
2.3.1. Magnetische Strahlführung . . . 12
2.3.2. Elektrische Strahlführung . . . 14
2.4. Das Positron im Festkörper . . . 15
2.5. Experimentelle Methoden . . . 19

3. Moderation und Remoderation **21**
3.1. Zweck der Moderation . . . 21
3.2. Die Brillanz . . . 22
3.3. Der Festkörpermoderator . . . 23
3.3.1. Moderatorgeometrien . . . 24
3.4. Remoderation . . . 26
3.5. Gasmoderation und Positronenakkumulatoren . . . 27

4. Positronen im Gas **29**
4.1. Wechselwirkungen von Positronen mit Gasmolekülen . . . 29
4.1.1. Positroniumsbildung . . . 29
4.1.2. Direkte Annihilation . . . 29
4.1.3. Elastische Streuung . . . 30
4.1.4. Rotationsanregung . . . 30
4.1.5. Vibrationsanregung . . . 31
4.1.6. Stoßionisation . . . 31
4.1.7. Elektronische Anregung . . . 32
4.2. Wirkungsquerschnitte und freie Weglängen . . . 33
4.3. Wirkungsquerschnitte im Stickstoff . . . 33
4.4. Abschätzung der maximalen Ausbeute an (re)moderierten Positronen 37

5. Entwicklung des Gasmoderators **41**
5.1. Prinzip . . . 41
5.2. Experimenteller Aufbau . . . 42
5.2.1. Mechanische Konstruktion . . . 42
5.2.2. Elektrische Potentiale . . . 45
5.2.3. Positronenstrahlführung . . . 45
5.2.4. Gas- und Vakuumsysteme . . . 46
5.3. Nachweis der Positronen im System . . . 46
5.3.1. Analyse der moderierten Positronen . . . 46
5.3.2. Ortsaufgelöste Detektion der annihilierenden Positronen . . . 49

6. Messungen und Ergebnisse **51**
6.1. Bestimmung der ortsabhängigen γ-Absorption im Moderatoraufbau 51
6.2. Bestimmung der Einkopplungseffizienz . . . 53
6.3. Spektrum des einfallenden Strahls . . . 53
6.4. Aufnahme der Zählrate in Abhängigkeit des Drucks . . . 55
6.5. Spektrum des moderierten Strahls bei verschiedenen Drücken . . . 56
6.6. Berechnung der Moderationseffizienzen . . . 59
6.7. Untersuchung der Positronenverluste im Moderator . . . 60
6.8. Diskussion der Messergebnisse und Ausblick . . . 63

7. Zusammenfassung **65**

A. Anhang **67**
A.1. Aufbau . . . 67
A.2. Spulenströme . . . 68
A.3. Messprotokoll . . . 69
A.4. Übersicht LabVIEW-Programme . . . 73

B. Literaturverzeichnis **77**

1. Einleitung

Seit der Entdeckung des Positrons im Jahre 1932 durch Carl D. Anderson wurden im Laufe der Zeit verschiedenste erfolgreiche Methoden entwickelt, für die das Positron als hochsensibles Sondenteilchen für Materialuntersuchungen verwendet wird. Aber auch in der Medizin werden heutzutage die Eigenschaften des Positrons in der sogenannten Positronen-Emissions-Tomographie (PET), beispielsweise zur Krebsdiagnose oder zur Untersuchung von Stoffwechselerkrankungen, genutzt.

Die entscheidende Eigenschaft des Positrons ist, dass es als Antiteilchen des Elektrons mit diesem im Schwerpunktsystem unter Aussendung zweier Gammaquanten im Winkel von 180° zerstrahlt. Über die Analyse dieser Annihilationsstrahlung kann man bei der PET Rückschlüsse auf den Ort der Annihilation ziehen. In der Materialforschung misst man dagegen die Lebensdauer eines Positrons im Festkörper, die Winkelabweichung von 180° oder die Energie der Gammaquanten, um Aussagen über Materialstruktur und -defekte auf atomaren Skalen treffen zu können. Aufgrund der großen Sensitivität der Positronen für Leerstellen, lassen sich Konzentrationen von Einfachleerstellen von 10^{-7} nachweisen.

Für viele Experimente, die sich mit der Untersuchung von Materialien beschäftigen, ist es essentiell einen hochbrillanten Strahl an Positronen zur Verfügung zu haben. Anders ausgedrückt entspricht dies einem hochintensiven Positronenstrahl mit möglichst geringem Durchmesser, einer präzise definierten Energie und geringer Winkeldivergenz. Mit NEPOMUC existiert am Forschungsreaktor München II der Technischen Universität München bereits eine hochintensive Quelle an langsamen Positronen. Der sogenannte Primärstrahl liefert ca. $5 \cdot 10^8$ Positronen pro Sekunde in einem Durchmesser von etwa 20 mm. Die Energie dieses monoenergetischen Positronenstrahls kann an der Quelle im Bereich von 15 eV bis einige keV eingestellt werden. Um die Brillanz dieses Strahls weiter zu verbessern, benutzt man in der Positronenphysik in der Regel keine $\vec{E} \times \vec{B}$-Filter, da dies die Intensität zu stark beeinträchtigen würde. Stattdessen wird das Prinzip der Moderation verwendet, bei der Positronen in einem geeigneten Festkörper wie Wolfram oder Platin auf thermische Energien abgebremst werden und aufgrund ihrer negativen Austrittsarbeit den Festkörper wieder verlassen können. Die Energieverschmierung in Strahlrichtung und senkrecht dazu beträgt nach der Moderation nur noch einige meV. Dieser Effekt wird bei NEPOMUC bereits für den Primärstrahl angewendet.

Bereits 1989 zeigten C. M. Surko et al. [SLP89], dass es auch in einem geeigneten Gas möglich ist Positronen abzubremsen und auf thermische Energien abzukühlen. Sie speicherten die thermalisierten Positronen in einer Penning-Falle und erzeugten

daraus einen gepulsten Strahl.

Ziel der Diplomarbeit ist die Entwicklung eines Moderators, der einen Positronenstrahl in einem Gas abbremst und einen kontinuierlichen, remoderierten Positronenstrahl liefert, ohne dass eine Speicherung nötig ist. Dazu ist es nötig das Konzept der Gasmoderation experimentell zu untersuchen, einen Versuchsaufbau zu entwickeln, die Energieverteilung des moderierten Strahls zu analysieren und die Effizienz des Moderators zu bestimmen. Anhand von ortsaufgelösten Messungen der Annihilationsstrahlung sollen die Verluste im Aufbau lokalisiert werden. Für diese Messungen stand die NEPOMUC-Quelle am FRM II zur Verfügung.

2. Das Positron: Sondenteilchen in der Festkörperphysik

1929 postulierte Paul A. M. Dirac erstmals die Existenz eines positiv geladenen Elektrons [Dir30]. Er begründete dies mit Zuständen negativer Energie als Lösung seiner nach ihm benannten Dirac-Gleichung. 1932 entdeckte Carl D. Anderson auf Nebelkammeraufnahmen die Spuren eines Teilchens mit einfach positiver Ladung und einer Masse, die in derselben Größenordnung wie der des Elektrons liegen musste. Er nannte das Teilchen Positron.

2.1. Eigenschaften des Positrons

Das Positron (abgekürzt e^+) ist das Antiteilchen des Elektrons und hat somit bis auf die entgegengesetzte Ladung dieselben Eigenschaften wie das Elektron (siehe Tabelle 2.1). Das Positron ist im idealen Vakuum stabil. Trifft es jedoch auf ein Elektron,

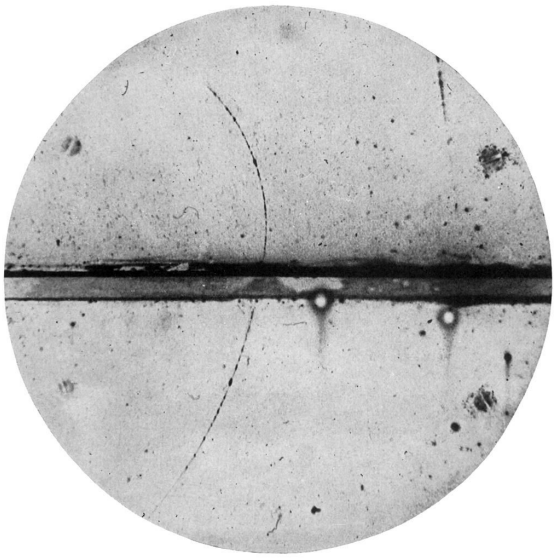

Abbildung 2.1.: Erstmaliger Nachweis des Positrons in einer Nebelkammer durch Carl D. Anderson: Ein 63 MeV-Positron dringt von unten durch eine 6 mm dicke Bleiplatte (aus [And33]).

Tabelle 2.1.: Eigenschaften des Positrons

Ruhemasse	$511\,\mathrm{keV/c^2}$
Ladung	$+1,6022 \cdot 10^{-19}\,\mathrm{C}$
magnetisches Moment	$+9,2848 \cdot 10^{-24}\,\mathrm{A\ m^2}$
Spin	$1/2$
Lebensdauer im Vakuum	$> 10^{21}\,\mathrm{a}$

annihiliert es mit diesem - vorzugsweise unter Emission zweier γ-Quanten mit einer Gesamtenergie von 1,022 MeV. Da Positronen daher nicht „natürlich“ vorkommen, müssen sie zunächst erzeugt werden, wenn man mit ihnen experimentieren will.

2.2. Positronenquellen

Prinzipiell gibt es zwei Möglichkeiten Positronen zu erzeugen: Mit Hilfe von β^+-Emittern und durch Paarbildung.

2.2.1. β^+-Emitter

Die Erzeugung von Positronen durch β^+-Emitter stellt die heute einfachste Möglichkeit dar ein Positronenstrahlexperiment aufzubauen. β^+-Emitter sind kommerziell erhältlich und können relativ einfach z. B. durch Protonenbeschuss eines Isotops hergestellt werden. Es entsteht dabei aufgrund des Protonenüberschusses ein instabiler Kern, der durch folgende Reaktion zerfallen kann:

$$ {}^{A}_{Z}X \rightarrow {}^{A}_{Z-1}Y + e^+ + \nu_e \tag{2.1} $$

Bei dieser Reaktion geht kinetische Energie nicht nur auf das Positron über, sondern auch an das Elektronneutrino. Somit erhält man ein kontinuierliches Spektrum an Positronen verschiedener Energie mit einer vom verwendeten β^+-Emitter abhängigen, maximalen Energie, der sogenannten Endpunktenergie. Abbildung 2.2 zeigt ein solches β^+-Spektrum am Beispiel von ^{22}Na. Reaktion 2.1 konkurriert jedoch mit dem sogenannten Elektroneneinfang, bei dem ein Proton mit einem Elektron aus der Atomhülle zu einem Neutron reagiert:

$$ p + e^- \rightarrow n + \nu_e \tag{2.2} $$

Die Positronenausbeute gibt an, mit welcher Wahrscheinlichkeit ein Kern unter β^+-Emission zerfällt.

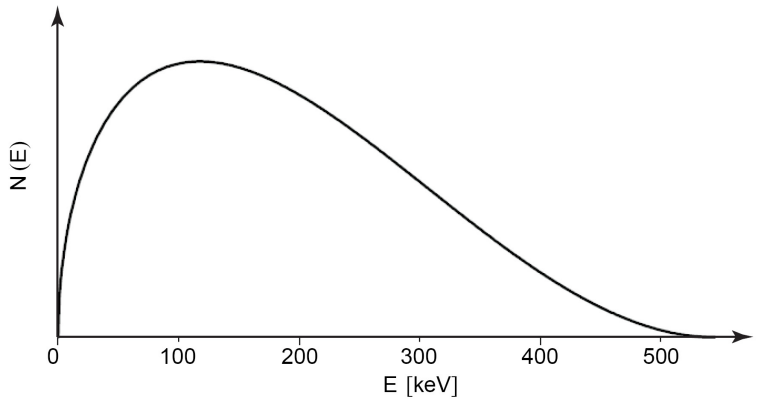

Abbildung 2.2.: β^+-Spektrum von ^{22}Na mit einer Endpunktenergie von 544 keV [Str02].

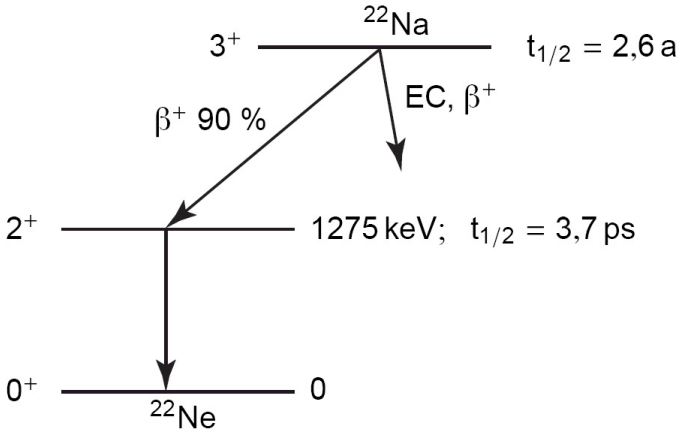

Abbildung 2.3.: Zerfallsschema von ^{22}Na [SW97]

^{22}Na

Als Standardquelle für Laborpositronenstrahlen hat sich ^{22}Na vor allem aufgrund seiner langen Halbwertszeit von 2,6 Jahren und seiner guten Positronenausbeute von 90 % durchgesetzt. Dies ermöglicht Messungen über einen längeren Zeitraum bei gleichbleibend hoher Positronenintensität. Abbildung 2.3 zeigt das Zerfallsschema von ^{22}Na. Darin wird eine weitere Eigenschaft des ^{22}Na deutlich. Es zerfällt zunächst in einen kurzlebigen angeregten Zustand des ^{22}Ne, um danach unter Aussendung eines γ-Quants mit einer Energie von 1,275 MeV in den Grundzustand zu zerfallen. Dieses γ-Quant kann als Startsignal für Messungen der Positronenlebensdauer verwendet werden.

β^+-Quellen in der Medizin

In der Medizin werden Positronenemitter bei der Positronen-Emissions-Tomographie (PET) verwendet. Die PET ist ein bildgebendes Verfahren, bei dem einem Patienten eine mit einem β^+-Strahler markierte Substanz injiziert wird und mit Hilfe der Annihilationsstrahlung der Ort der Anreicherung dieses Radiopharmakon im Organismus sichtbar gemacht werden kann. Die PET wird vor allem zur Untersuchung stoffwechselbedingter Krankheiten eingesetzt. Es werden verschiedenste β^+-Emitter eingesetzt, deren Halbwertszeiten von nur 75 Sekunden (^{82}Rb) bis 20 Minuten (^{11}C) reichen.

2.2.2. Positronen durch Paarbildung

Die zweite Möglichkeit Positronen zu erzeugen ist die Paarbildung. Aufgrund der bekannten Masse-Energie-Beziehung $E = mc^2$ ist es möglich Teilchen aus elektromagnetischer Strahlung zu erzeugen. Wegen der Erhaltungssätze für Ladung und Leptonenzahl wird jedoch immer ein Positron zusammen mit seinem Antiteilchen, dem Elektron, erzeugt. Die benötigte Energie des γ-Quants beträgt demnach mindestens der doppelten Ruheenergie des Positrons, nämlich 1,022 MeV. Jedoch kann dieser Prozess aufgrund der Viererimpulserhaltung nur im Coulombfeld eines Atomkerns oder Elektrons geschehen, wobei der Wirkungsquerschnitt für Paarbildung durch γ-Strahlung unterhalb von 20 MeV in etwa proportional zum Quadrat der Kernladungszahl Z ist.

Beschleunigerquellen

Bei Beschleunigerquellen wird die zur Paarbildung benötigte γ-Strahlung aus der Bremsstrahlung von Elektronen gewonnen. Durch einen Linearbeschleuniger beschleunigte Elektronen werden dabei auf ein Target (z. B. Wolfram) geschossen, in dem die Positronen durch Paarbildung entstehen. Da der Strahl bei Beschleunigern gepulst ist, entsteht ein ebenfalls gepulster Positronenstrahl.

Reaktorquellen

Reaktorquellen, wie die am Forschungsreaktor München II (FRM II) installierte Positronenquelle NEPOMUC[1], nutzen γ-Strahlung aus angeregten Atomkernen. Dabei gibt es wiederum zwei verschiedene Möglichkeiten zur Erzeugung der γ-Strahlung: Entweder können die direkt im Reaktorkern entstehenden γ-Quanten zur Paarbildung genutzt werden wie beispielsweise an der Uni Delft. Die andere Möglichkeit, die am FRM II eingesetzt wird, besteht darin, über den Einfang thermischer Neutronen eine γ-Kaskade auszulösen. Am Forschungsreaktor der TU

[1] **Ne**utron Induced **Po**sitron Source **Mu**nic**h**

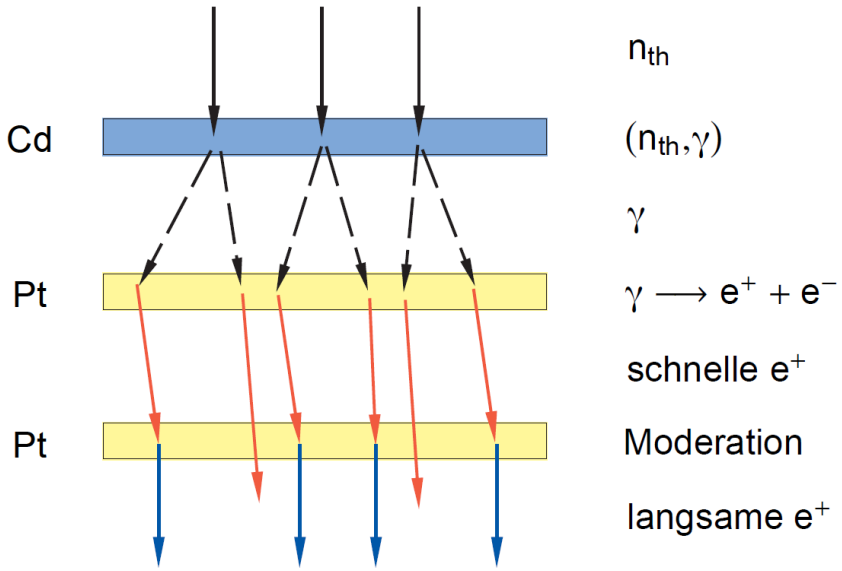

Abbildung 2.4.: Erzeugung von Positronen durch thermische Neutronen [Pio05]

München geschieht dies durch folgende Reaktion: $^{113}Cd(n_{th}, \gamma)^{114}Cd$. Cadmium-113 wurde aufgrund des großen Wirkungsquerschnitts für diese Einfangreaktion von 26000 barn gewählt. Abbildung 2.4 zeigt die Erzeugung langsamer Positronen an NEPOMUC schematisch. Durch den Einfang thermischer Neutronen im Cadmium wird die Neutronen-Bindungsenergie in Form von γ-Strahlung freigesetzt. Die Erzeugung der Positronen-Elektronen-Paare geschieht in Platin, das gleichzeitig die schnellen Positronen auf niedrige Energien moderiert. Abbildung 2.5 zeigt einen Schnitt durch den Quellkopf von NEPOMUC, der sich im Moderatortank in der Nähe des Reaktorkerns befindet. Die aus dem Platin emittierten langsamen Positronen werden durch elektrische Linsen zu einem Strahl geformt und durch ein magnetisches Führungsfeld von etwa 8 mT zu den einzelnen Experimenten geführt. Das Strahlrohr ist dabei bis auf einen Druck von ca. 10^{-8} mbar evakuiert, um Annihilationsverluste im Restgas zu vermeiden. Dieser Primärstrahl lässt sich auf Energien von 15 bis 1000 eV einstellen und liefert bis zu $5 \cdot 10^8$ moderierte Positronen/Sekunde.

2.3. Positronenstrahlführung

Um Positronen als Strahl führen zu können, müssen diese monoenergetisch sein, was bedeutet, dass alle Positronen die gleiche kinetische Energie besitzen müssen. Zur Erzeugung monoenergetischer Strahlen sei auf Kapitel 3: „Moderation und Remoderation“ verwiesen. Aufgrund ihrer elektrischen Ladung, gibt es zwei Möglichkeiten Positronenstrahlen zu führen: magnetisch und elektrisch.

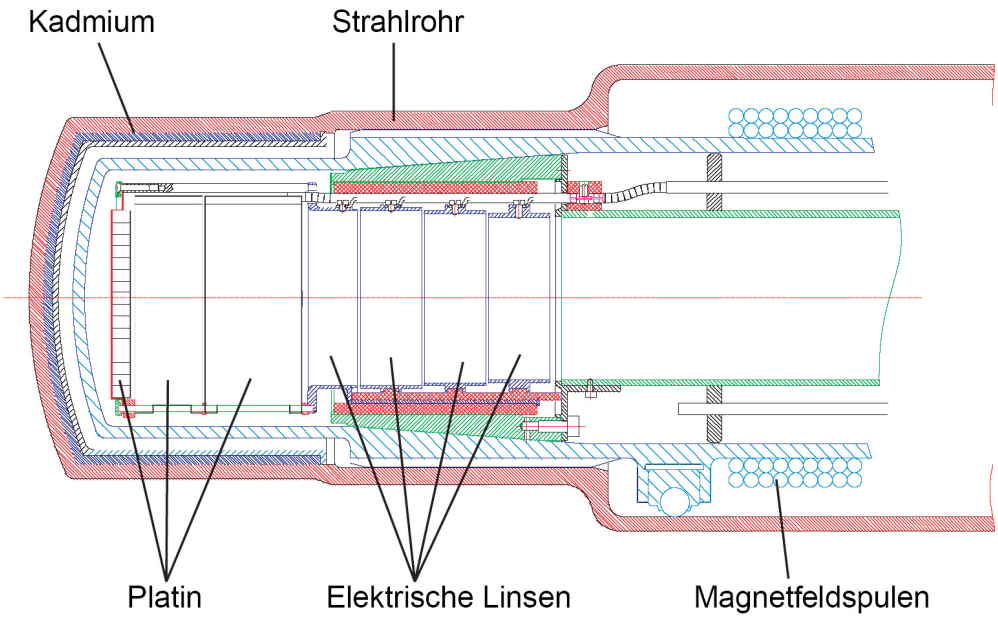

Abbildung 2.5.: Quellkopf der Positronenquelle NEPOMUC am Forschungsreaktor München II (FRM II) [HKR+02]

2.3.1. Magnetische Strahlführung

Die magnetische Strahlführung ist die praktikabelste Art der Strahlführung und kann verwendet werden, um einen Positronenstrahl über eine längere Distanz zu führen. Dabei wird üblicherweise[2] das Strahlrohr mit Spulen umwickelt, sogenannten Solenoidspulen, so dass durch den Spulenstrom I ein Magnetfeld entsteht das parallel zum Strahl ist. Die magnetische Flussdichte B im Inneren einer unendlich langen Spule erhält man gemäß:

$$B = \mu_0 I n \tag{2.3}$$

Dabei ist μ_0 die magnetische Permeabilität und n die Wicklungsdichte des Drahtes in der Einheit 1/m.

Die Wirkungsweise der magnetischen Strahlführung basiert auf der resultierenden Kraft die ein geladenes Teilchen im Magnetfeld erfährt, der Lorentzkraft $\vec{F}$. Zusammen mit der Ladung des Teilchens q und dessen Geschwindigkeit $\vec{v}$ gilt:

$$\vec{F} = q\vec{v} \times \vec{B}. \tag{2.4}$$

Auf ein Teilchen das sich in Magnetfeldrichtung bewegt wirkt daher, aufgrund des Kreuzprodukts, keine Kraft. Hat es jedoch eine Geschwindigkeitskomponente $v_\perp$ senkrecht dazu, wird es auf eine Kreisbahn um die Magnetfeldachse gezwungen, es

[2] Alternativ können auch Helmholtzspulen benutzt werden.

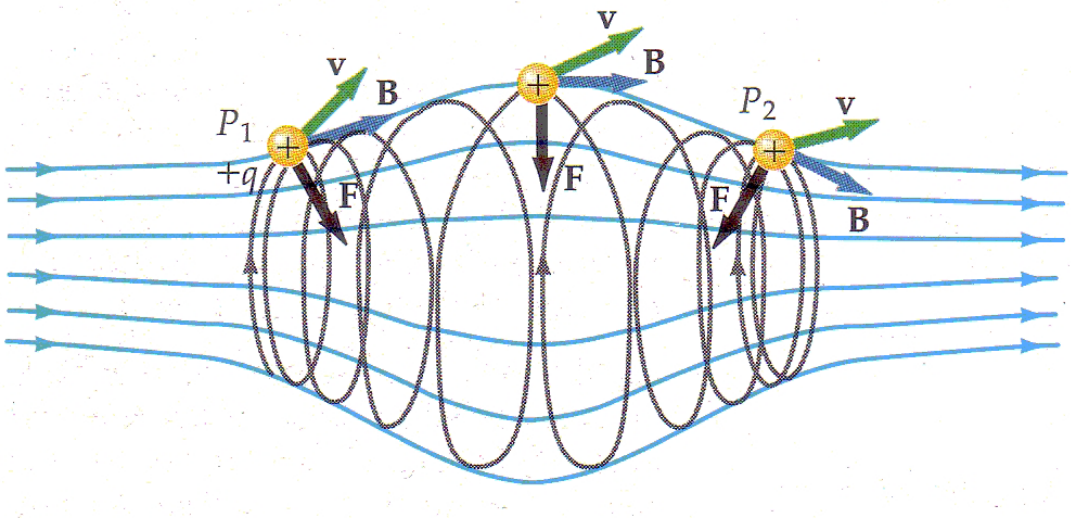

Abbildung 2.6.: Bewegung eines geladenen Teilchens in einem inhomogenen Magnetfeld (aus [Tip00])

gyriert. Die Gyration verhindert somit das Auseinanderlaufen eines Positronenstrahls. Durch Gleichsetzen der Lorentzkraft mit der Zentrifugalkraft $F_Z = \frac{mv_\perp^2}{r}$ lässt sich der Gyrationsradius r bestimmen:

$$r = \frac{mv_\perp}{eB} = \frac{\sqrt{2E_\perp m}}{eB} = \frac{v_\perp}{\omega_c} \tag{2.5}$$

Dabei ist $E_\perp$ die kinetische Energie senkrecht zur Magnetfeldrichtung und ω_c die Zyklotronfrequenz. Die Zeit für eine Gyration ist somit

$$T = 2\pi\frac{1}{\omega_c} = 2\pi\frac{m}{eB} \tag{2.6}$$

Daraus lässt sich die Gyrationslänge λ, mit Hilfe der kinetischen Energie in Longitudinalrichtung $E_\parallel$ berechnen:

$$\lambda = 2\pi\frac{\sqrt{2E_\parallel m}}{eB} \tag{2.7}$$

Sie gibt an, wie weit sich ein Positron während einer Gyration in Longitudinalrichtung fortbewegt. Man spricht von adiabatischer Strahlführung, wenn das Magnetfeld innerhalb einer Gyrationslänge nahezu konstant bleibt. Werden Positronen adiabatisch geführt, folgen sie dem Verlauf der Magnetfeldlinien auch in inhomogenen Magnetfeldern (siehe Abbildung 2.6). Dadurch lässt sich ein Strahl adiabatisch komprimieren, und eine Führung der Positronen durch Bögen wird möglich. Die sogenannte Krümmungsdrift, die durch unterschiedliche Wicklungsdichten zwischen

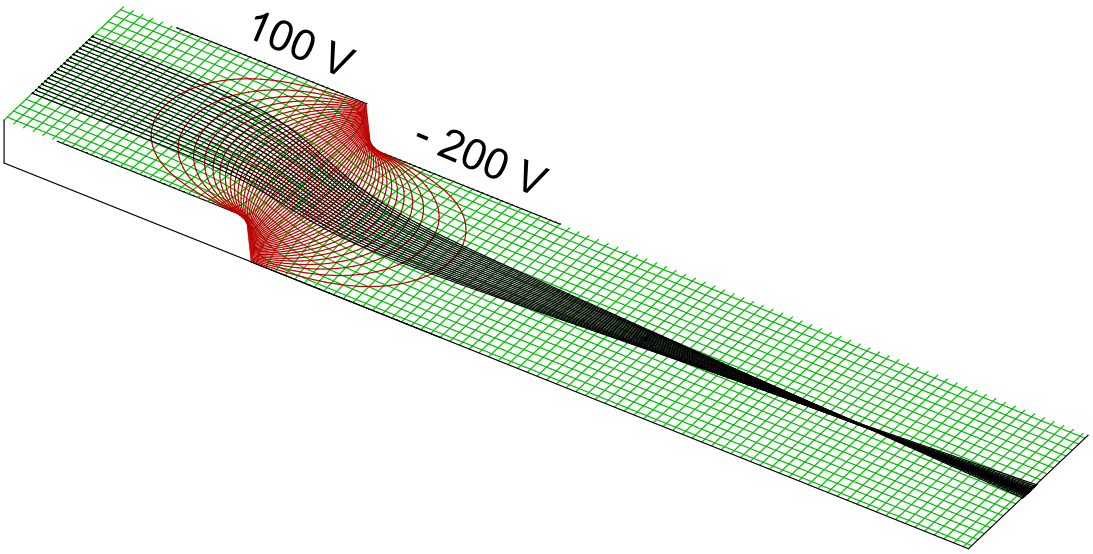

Abbildung 2.7.: Fokussierung eines 100 eV Positronenstrahls durch eine elektrische Linse, simuliert mit SIMION 3D

Innen- und Außenbereich des Bogens entsteht, muss jedoch durch ein Korrekturfeld, das senkrecht zur Krümmungsebene des Führungsfeld steht, ausgeglichen werden. Das Erdmagnetfeld lässt sich durch zusätzliche transversale Felder oder durch Ummantelung des Strahlrohrs mit μ-Metall abschirmen.

2.3.2. Elektrische Strahlführung

Die elektrische Strahlführung basiert auf der Kraft $\vec{F} = e\vec{E}$, die ein Positron in einem elektrischen Feld erfährt und wird vor allem eingesetzt, um Positronen, z. B. auf eine Probe, zu fokussieren. Positronenstrahlen können durch elektrische Linsen fokussiert werden. Eine elektrische Linse besteht aus mindestens zwei hintereinander angeordneten, aber voneinander isolierten Metallringen, durch die der Strahl hindurchläuft.

Abbildung 2.7 zeigt eine aus zwei Metallringen bestehende elektrische Linse durch die ein 100 eV Positronenstrahl hindurchläuft. Die perspektivisch dargestellte Höhe entspricht dabei dem Potential an diesem Ort. Äquipotentiallinien sind rot eingezeichnet. Die von links einlaufenden Positronen werden im Bereich des 100 V-Ringes durch das elektrische Feld fokussiert. Im Bereich der zweiten Linse wirkt durch das elektrische Feld dieselbe Kraft, jedoch defokussierend. Aufgrund der Potentialstufe zwischen beiden Ringen werden die Positronen beschleunigt, wodurch die Aufenthaltsdauer im Bereich der zweiten Linse geringer ist und somit die

Tabelle 2.2.: Typische Zeitskalen [SL88]

Prozess/Lebensdauer		Zeit
Lebensdauer im Vakuum	$>$	$2 \cdot 10^{+21}\,\mathrm{a}$
Streuung oder Beugung	$\approx$	$1 \cdot 10^{-15}\,\mathrm{s}$
Abbremsung auf ca. Fermi-Energie	$\approx$	$1 \cdot 10^{-13}\,\mathrm{s}$
Abbremsung auf thermische Energien	$\approx$	$1 \cdot 10^{-12}\,\mathrm{s}$
Freie Diffusion	$\approx$	$1 \cdot 10^{-10}\,\mathrm{s}$
Lebensdauer eingefangen in einzelner Leerstelle	$\approx$	$2 \cdot 10^{-10}\,\mathrm{s}$
Lebensdauer eingefangen in Mehrfachleerstelle	$\approx$	$4 \cdot 10^{-10}\,\mathrm{s}$
Lebensdauer in Oberflächenzustand	$\approx$	$4 - 6 \cdot 10^{-10}\,\mathrm{s}$
Lebensdauer des Positronium Singlett-Zustands (Vakuum)	$\approx$	$1,25 \cdot 10^{-10}\,\mathrm{s}$
Lebensdauer des Positronium Triplett-Zustands (Vakuum)	$\approx$	$1,42 \cdot 10^{-7}\,\mathrm{s}$

Defokussierung schwächer ausfällt als die Fokussierung. Als Resultat wird der Strahl letztendlich fokussiert.

Die elektrostatische Fokussierung auf einen punktförmigen Fokus funktioniert jedoch nur mit einem monoenergetischen Strahl, da für unterschiedliche Energien aufgrund der chromatischen Aberation unterschiedliche Brennweiten zustande kommen. Ein weiterer Nachteil gegenüber der magnetischen Kompression besteht im verhältnismäßig komplizierten Aufbau der Linsen mit elektrischen Anschlüssen und Durchführungen im Vakuum.

Eine andere Möglichkeit Positronen zu führen, nämlich der über elektrische Driftfelder, wird in Abschnitt 5.2.2 vorgestellt.

2.4. Das Positron im Festkörper

Treffen Positronen auf einen Festkörper, so sind verschiedene Prozesse in diesem möglich. Anhand von Abbildung 2.8 werden diese im Folgenden erläutert. In Tabelle 2.2 sind einige Zeitskalen der einzelnen Prozesse aufgeführt.

Streuung, Thermalisierung

Die erste Möglichkeit besteht darin, dass Positronen überhaupt nicht in den Festkörper eindringen und an ihm nur elastisch oder inelastisch gestreut werden (siehe (1) in Abbildung 2.8). Gelangen die Positronen in den Festkörper, können sie durch inelastische Stöße solange Energie verlieren, bis sie thermalisiert sind, also auf Energien von etwa $E = k_B T$ abgebremst worden sind. Dies geschieht innerhalb weniger Picosekunden ($10^{-12}\,\mathrm{s}$). Schon nach etwa $10^{-15}\,\mathrm{s}$ haben sie jedoch bereits Energien von etwa $10\,\mathrm{eV}$. Dies geschieht durch Ionisation bzw. elektrische Anregung von

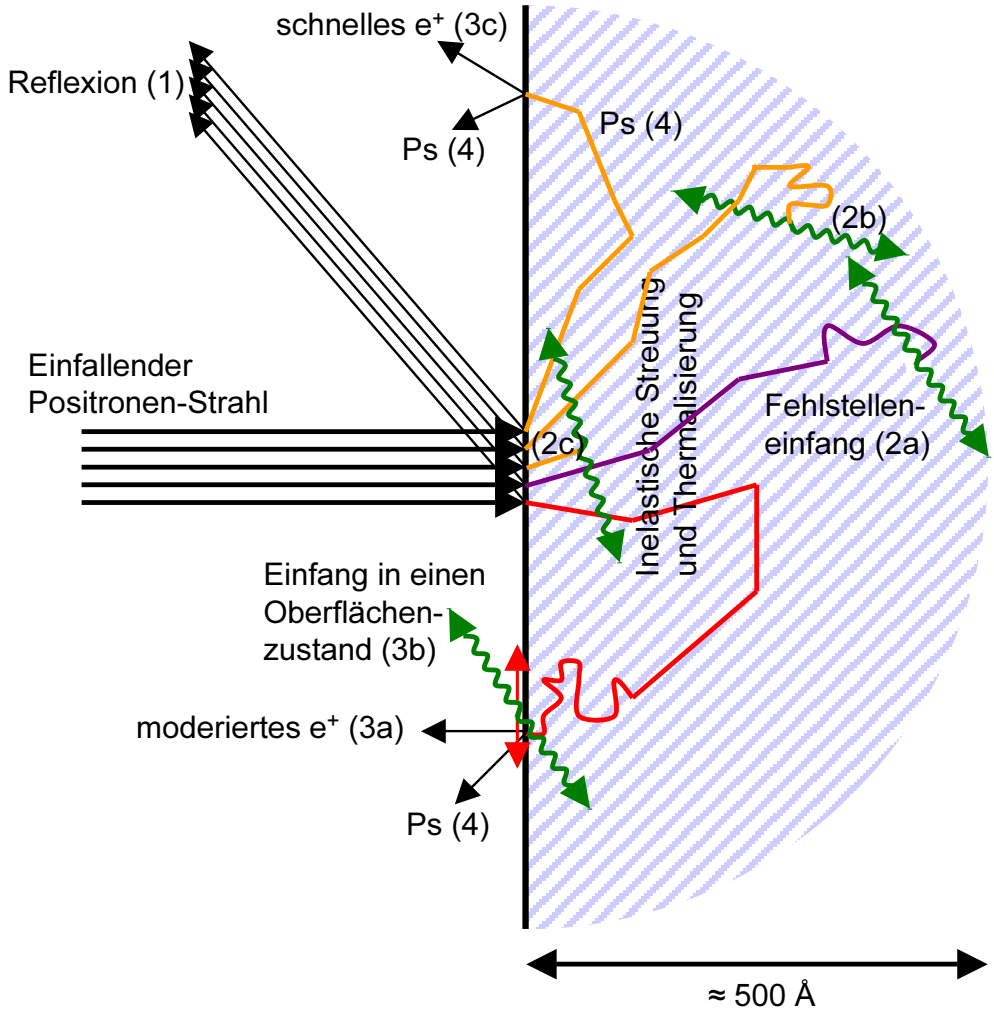

Abbildung 2.8.: Übersicht über die möglichen Prozesse im Festkörper [May06], [Pio05]

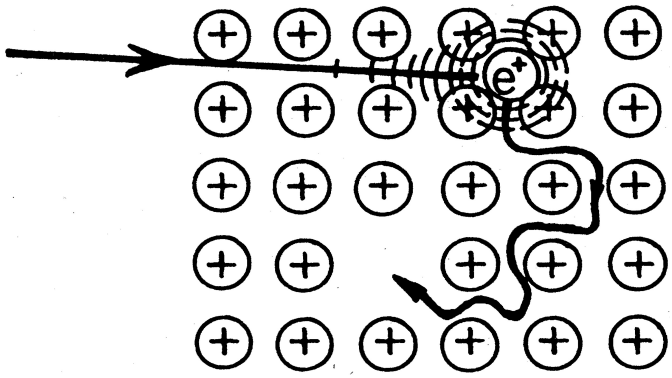

Abbildung 2.9.: Thermalisierung, Diffusion und Einfang eines Positrons in einer Leerstelle [SL88].

Atomen oder Erzeugung von Exzitonen. Unterhalb von 10 eV werden die Positronen durch Anregung von Plasmonen und durch Streuung mit Phononen abgebremst, was jedoch mit 10^{-12} s deutlich länger dauert. Aufgrund der niedrigen Intensitäten heutiger Positronenquellen befindet sich immer nur ein Positron im Festkörper und kann dadurch den energetisch niedrigsten Zustand einnehmen. Es ist jedoch auch möglich, dass Positronen vor dem Erreichen thermischer Energien mit einem Elektron annihilieren (2c) oder den Festkörper als epithermische Positronen wieder verlassen (3c).

Diffusion und Einfang

Thermalisierte Positronen können im Festkörper etwa 10^{-10} s lang diffundieren, bevor sie mit einem Elektron annihilieren (2b). Dies entspricht einer Diffusionslänge von einigen 100 nm. Während der Diffusion werden Positronen bevorzugt von sogenannten Haftstellen eingefangen (siehe (2a) und Abbildung 2.9). Haftstellen sind Gitterfehler wie z. B. (Mehrfach-) Leerstellen, Korngrenzen oder Versetzungen. In einer Leerstelle existiert für Positronen wegen des fehlenden Atomrumpfes ein attraktives Potential von ca. 1 eV Tiefe (siehe Abbildung 2.10). Aufgrund der geringen Energie eines thermalisierten Positrons von nur etwa 40 meV wird es in diesem Zustand gebunden bis es annihiliert. Die Lebensdauer in einer Einfachleerstelle ist dabei um einige 10 ps größer als für ein nicht eingefangenes Positron, was an der dort geringeren Elektronendichte liegt.

Annihilation

Die Annihilation von Positron und Elektron in zwei Gammaquanten mit einer Energie von jeweils 511 keV erfolgt im Schwerpunktsystem unter einem Winkel von

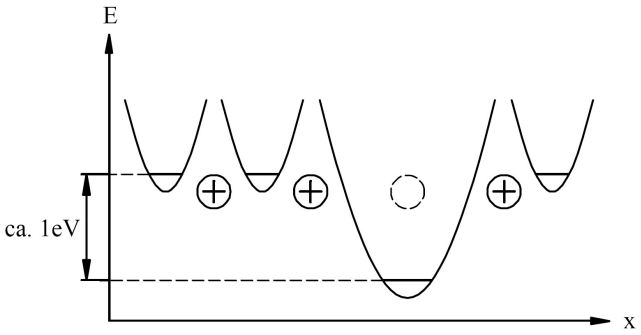

Abbildung 2.10.: Aufgrund des für Positronen attraktiven Potentials einer Leerstelle können thermalisierte e^+ dort eingefangen („getrappt“) werden [Str02].

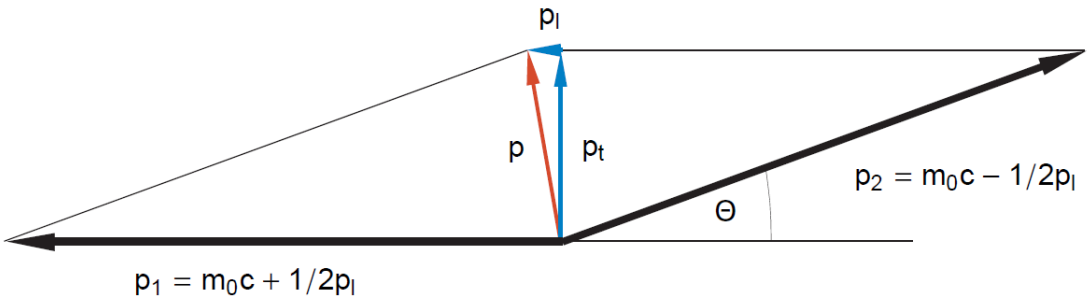

Abbildung 2.11.: Annihilation eines Positrons mit einem Elektron [Pio05]: Die Transversalkomponente p_t des Elektronenimpulses p führt zu einer Winkelabweichung Θ der Gammaquanten von 180°. Der Longitudinalanteil p_l führt zu einer Dopplerverschiebung der Gammaenergie [Her99].

180°. Aufgrund der Transversalkomponente des Impulses des beteiligten Elektrons[3] (siehe Abbildung 2.11) misst man jedoch im Laborsystem einen Winkel, der um einige mrad von 180° abweicht. Die Longitudinalkomponente des Elektronenimpuls führt zu einer Dopplerverschiebung der Energien beider Gammaquanten, die bis zu einige keV betragen kann.

Positroniumsbildung

In Isolatoren, an Oberflächen und in Gasen ist die Bildung von Positronium möglich (4). Das Positronium ist ein wasserstoffähnlicher, gebundener Zustand aus einem Elektron und einem Positron. In Metallen ist Positroniumsbildung aufgrund der Abschirmwirkung der Leitungselektronen nur an der Oberfläche möglich. Eine genauere Behandlung des Positroniums erfolgt in Abschnitt 4.1.1.

[3] Der Impuls des thermalisierten Positrons kann vernachlässigt werden.

Reemission

Besitzt der Festkörper eine negative Austrittsarbeit für Positronen, können thermalisierte Positronen, die zurück zur Oberfläche diffundieren, den Festkörper wieder verlassen. Dieser Effekt wird bei der Moderation von Positronen genutzt (siehe Kapitel 3).

2.5. Experimentelle Methoden

Im Laufe der Zeit sind verschiedene experimentelle Methoden mit Positronen entwickelt worden, die auch miteinander kombiniert werden können.

Angular correlation of annihilation radiation (ACAR)

Bei der ACAR wird die Winkelabweichung der Annihilationsstrahlung von 180° gemessen, um Aussagen über den Elektronenimpuls im Festkörper machen zu können. Damit ist es möglich Fermiflächen zu vermessen.

Doppler Broadening Spectroscopy (DBS)

Die DBS (Dopplerspektroskopie) betrachtet dagegen die Dopplerverschiebung der Gammaenergie der Annihilationsquanten. Eine Weiterentwicklung ist die koinzidente Dopplerspektroskopie (CDBS), mit der die Energieverschiebung beider Gammas gleichzeitig gemessen wird. Dies resultiert in einer drastischen Verbesserung des Peak-to-Background-Verhältnisses.

Lebensdauermessungen

Mit Hilfe eines gepulsten Strahls oder einer ^{22}Na-Quelle ist es möglich die Lebensdauer eines Positrons im Festkörper zu bestimmen. Damit lassen sich z. B. Aussagen über Defekttyp und -konzentration, beispielsweise nach mechanischer Beanspruchung eines Materials machen. Wird der Strahl über die Probe gescannt, ist dies auch ortsaufgelöst möglich.

Positron Annihilation induced Auger Electron Spectroscopy (PAES)

Bei der durch Positronenannihilation induzierten Auger-Elektronenspektroskopie (PAES) wird der Auger-Prozess nicht durch Stoßionisation ausgelöst, sondern durch die Annihilation eines kernnahen Elektrons mit einem Positron. Ein Vorteil gegenüber der konventionellen AES ist eine höhere Oberflächensensitivität aufgrund der Rückdiffusion der langsamen Positronen zur Oberfläche.

3. Moderation und Remoderation

3.1. Zweck der Moderation

Unter Moderation[1], im physikalischen Sinn, versteht man im Allgemeinen das Abbremsen von Teilchen auf thermische Energien ($E_{kin} \approx k_B T \approx 25\,\text{meV}$). So werden z. B. in einem Kernreaktor Neutronen durch Wasser moderiert, um die Kernspaltung mit thermischen Neutronen am Laufen zu halten. Auch in der Positronenphysik ist es für eine Vielzahl an Experimenten essentiell, langsame Positronen - im Energiebereich von einigen eV - zur Verfügung zu haben. β^+-Emitter sowie Quellen die auf der Positronenerzeugung durch Paarbildung basieren (wie z. B. NEPOMUC) liefern jedoch Positronen mit einem einige 100 keV breiten Energiespektrum. Abbildung 3.1 zeigt das β^+-Spektrum einer Cobalt-58-Quelle, mit einer Endpunktenergie von 472 keV. Ebenfalls eingezeichnet ist das Spektrum moderierter Positronen aus dieser Quelle. Wie man sieht konnte die Intensität an Positronen im eV-Bereich durch einen Wolfram-Moderator (W(110)) um beinahe sechs Größenordnungen gesteigert werden. Hier wird die Notwendigkeit der Moderation deutlich, da ein einfaches Geschwindigkeitsfilter gerade im Bereich niedriger Energie zu erheblichen Intensitätseinbußen führen würde.

[1] lat.: moderare = mäßigen

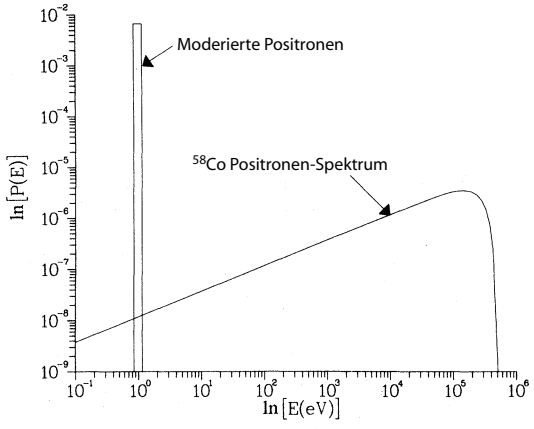

Abbildung 3.1.: Moderiertes und nicht-moderiertes Positronen-Spektrum einer ^{58}Co-Quelle (aus [SL88])

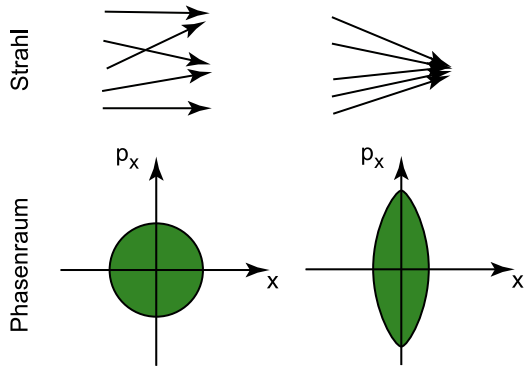

Abbildung 3.2.: Bei der Fokussierung eines Strahls durch elektrostatische Linsen wird das Phasenraumvolumen in der Ortskoordinate (hier x) komprimiert. Aufgrund des Satzes von Liouville muss das Phasenraumvolumen eines Teilchenstrahls jedoch erhalten bleiben, weshalb die Impulsunschärfe zunimmt und somit die Dichte im Impulsraum (p_x) abnimmt [Pio05].

In der Positronenphysik werden Moderatoren aber nicht nur eingesetzt, um den Betrag der Geschwindigkeit zu reduzieren, sondern auch um die Winkeldivergenz der Positronen - und damit den Impuls in Transversalrichtung - zu minimieren. Mit anderen Worten: Erst durch Moderation lässt sich ein intensiver, monoenergetischer Strahl aus Positronen bilden.

3.2. Die Brillanz

Die Brillanz ist definiert als das Verhältnis der Anzahl an Positronen pro Sekunde zur Größe des besetzten Phasenraums. Um die Qualität eines Strahls zu verbessern, muss daher bei konstanter Intensität das Phasenraumvolumen verkleinert werden.

Der Phasenraum ist ein sechs-dimensionaler Raum der aus den drei Ortskomponenten (x, y, z) und den drei Impulskomponenten (p_x, p_y, p_z) besteht. Für jedes Positron im Strahl lässt sich - in den Grenzen, die durch die heisenbergsche Unschärferelation vorgegeben sind - die Lage in diesem sechs-dimensionalen Raum bestimmen. Bei einem idealen Strahl würden deshalb alle Positronen zu einem beliebigen Zeitpunkt denselben Punkt im Phasenraum besetzen oder anders ausgedrückt, sie würden von einem Punkt im Ortsraum mit gleicher Geschwindigkeit in dieselbe Richtung fliegen. In der Realität bewegen sich die Positronen jedoch auf unterschiedlichen Trajektorien im Phasenraum. Nach dem Satz von Liouville ist es nur durch nicht-konservative Kräfte möglich die Größe des Phasenraums zu verkleinern. Elektrostatische Linsen können somit nicht benutzt werden, da sie einen Strahl zwar im Ortsraum komprimieren können, die Größe im Impulsraum (und damit die Winkeldivergenz) dadurch aber zwangsläufig ansteigt (siehe Abbildung

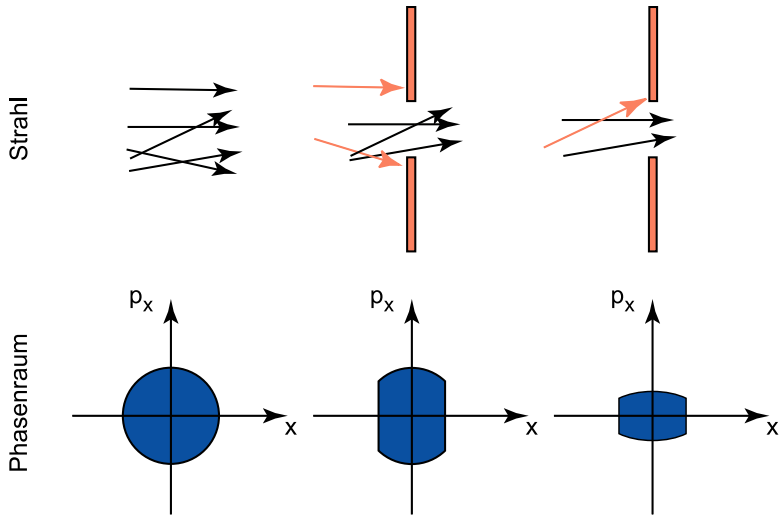

Abbildung 3.3.: Mit der Beschneidung des Phasenraums durch mehrere Kollimatoren geht gleichzeitig eine erheblich Anzahl an Positronen verloren [Pio05].

3.2). Natürlich lässt sich die Winkeldivergenz eines Strahls durch die Verwendung mehrerer hintereinander geschalteter Blenden verringern. Bei der im Vergleich zu z. B. Ionen- oder Laserstrahlen geringen Intensität an Positronen ist diese Vorgehensweise jedoch ineffizient, da hier der Phasenraum nur abgeschnitten und nicht komprimiert wird (siehe Abbildung 3.3). Ziel der Moderation ist es den Phasenraum eines Strahls zu komprimieren.

Da es sich bei der Positronenquelle NEPOMUC um eine kontinuierliche (nicht gepulste) Quelle handelt, ist die Ausdehnung des Strahls im Ortsraum in eine Richtung unendlich. Ist die Strahlachse parallel zur z-Achse, kann man den Phasenraum um die z-Richtung reduzieren. Die kinetische Energie eines Positrons in Longitudinalrichtung $E_{\parallel}$ lässt sich somit durch p_z wie folgt ausdrücken:

$$E_{\parallel} = \frac{p_z^2}{2m_e} \tag{3.1}$$

Für die Energie in Transversalrichtung $E_{\perp}$ gilt:

$$E_{\perp} = \frac{p_x^2 + p_y^2}{2m_e} \tag{3.2}$$

3.3. Der Festkörpermoderator

Die Funktionsweise des Festköpermoderators basiert auf der Thermalisierung von Positronen in einem Festkörper. Wie in Abschnitt 2.4 dargestellt, thermalisieren

Positronen aus einer β^+-Quelle im Festkörper innerhalb von etwa 1 ps. Die thermalisierten Positronen diffundieren durch den Festkörper bis sie mit einem Elektron zerstrahlen. Gelangen sie davor jedoch an die Oberfläche, können sie den Festkörper wieder verlassen. Voraussetzung dafür ist jedoch eine negative Austrittsarbeit Φ^+ des Materials für Positronen. In Frage kommen z. B. Wolfram, Nickel, Platin und feste Edelgase[2], wobei sich (einkristallines) Wolfram ($\Phi^+ = -2,9\,\mathrm{eV}$) als Standardmoderationsmaterial durchgesetzt hat. Die kinetische Energie der Positronen in Longitudinalrichtung $E_\parallel$ entspricht nach dem Verlassen des Festkörpers (mit $U = 0\,\mathrm{Volt}$ an der Oberfläche) der Austrittsarbeit, jedoch mit einer thermischen Verschmierung im Bereich von k_BT. Da die Positronen senkrecht zur Oberfläche den Festkörper verlassen, erhält man einen nahezu parallelen Strahl. Die thermische Energie des Festkörpers führt jedoch zu einer Energiekomponente in Transversalrichtung und damit zu einer Winkeldivergenz θ (= Öffnungswinkel des Strahls) [SL88]:

$$\theta = 2\sqrt{\frac{k_BT}{|\Phi^+|}} \tag{3.3}$$

In der Praxis können jedoch Unebenheiten der Oberfläche des Festkörpers dazu führen, dass diese Winkeldivergenz deutlich größer ausfällt.

3.3.1. Moderatorgeometrien

Man unterscheidet grundsätzlich zwei verschiedene Moderatortypen. Beim Transmissionsmoderator wird eine etwa 1 µm dünne Folie vor die Quelle gespannt. Die moderierten Positronen verlassen die Folie an der der Eintrittsseite gegenüberliegenden Seite, während beim Reflexionsmoderator die Positronen auf der gleichen Seite des Moderatormaterials emittiert werden. Für den Transmissionsmoderator spricht der einfache Aufbau, während beim Reflexionsmoderator die Gefahr besteht, dass langsame Positronen durch die Quelle abgeschattet werden. Vorteil des Reflexionsmoderators ist jedoch das einfachere Handling des Moderatorkristalls im Vergleich zur dünnen Folie des Transmissionsmoderators. In den Abbildungen 3.4 und 3.5 sind verschiedene Geometrien für den Aufbau von Moderatoren an einer β^+-Quelle abgebildet.

[2] Bei festen Edelgasen, wie z. B. Neon, beruht die Funktion der Moderation jedoch nicht auf der negativen Austrittsarbeit sondern auf der großen Bandlücke von über 5 eV. Die Positronen können somit nur durch elektronische Anregung abgebremst werden, solange ihre Energie größer als die der Bandlücke ist. Darunter ist nur noch Phononenstreuung möglich, die bei weitem nicht so effektiv ist. Die noch „heißen“ Positronen können somit trotz positiver Austrittsarbeit den Festkörper verlassen [Blu00].

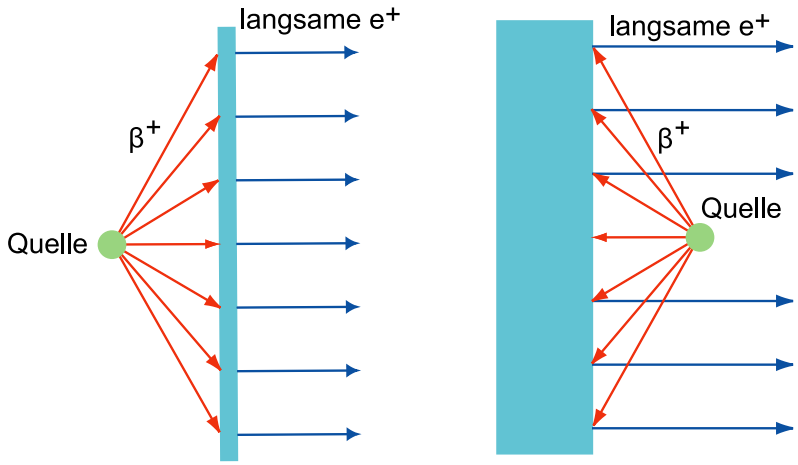

Abbildung 3.4.: Verschiedene Moderatorgeometrien: links der Transmissionsmoderator, rechts der Reflexionsmoderator [Pio05]

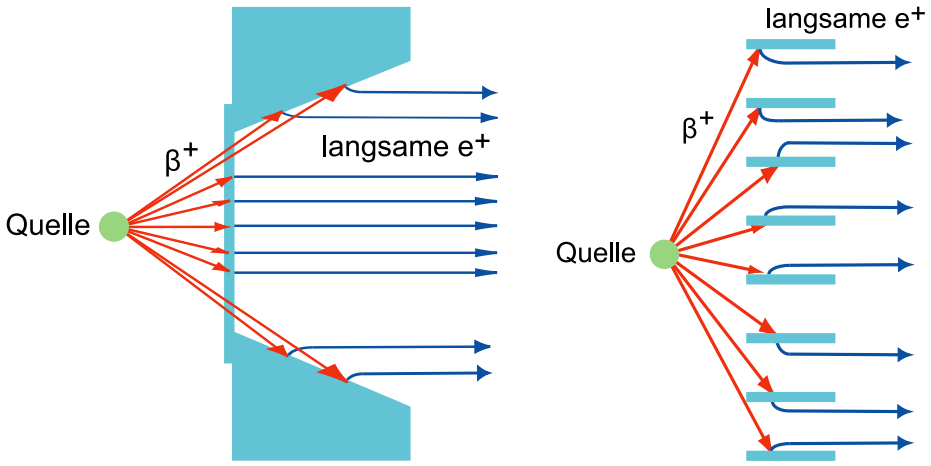

Abbildung 3.5.: Zwei mögliche Kombinationen aus Transmissions- und Reflexionsmoderator [Pio05]. Links: Positronen die in der Moderatorfolie nicht (vollständig) moderiert werden, können vom Reflexionskonus moderiert werden. Dadurch ist es möglich die Dicke der Folie zu reduzieren, um Transmissionsverluste zu minimieren [Mä00]. Rechts: Sowohl reflektierte als auch transmittierte Positronen können durch ein elektrisches Feld zu einem Strahl geformt werden.

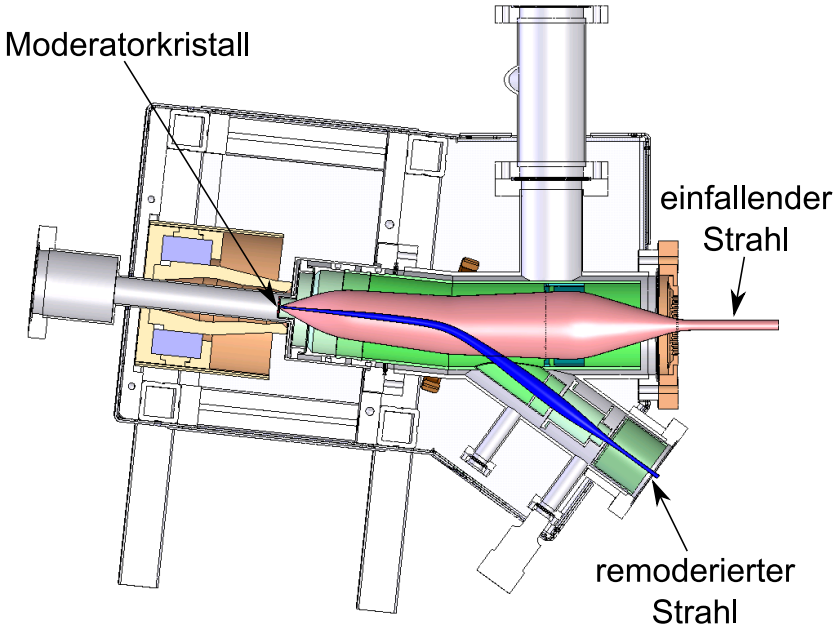

Abbildung 3.6.: Reflexionsremoderator der Positronenquelle NEPOMUC [PKE+07]

3.4. Remoderation

Je nach Einsatz unterscheidet man zwischen Moderation und Remoderation. Ein Remoderator wird benutzt um einen bereits an der Quelle moderierten Strahl ein zweites Mal zu moderieren und die Brillanz weiter zu erhöhen. Auch hier gibt es wieder prinzipiell zwei verschiedene Geometrien: den Transmissionsremoderator und den Reflexionsremoderator.

Während die Grundgeometrien denen der Moderation entsprechen, kommt hier hinzu, dass der Strahl möglichst gut auf den Moderator fokussiert werden muss, um die Brillanz (durch Verkleinerung des Ortsraums) zu erhöhen. Beim Transmissionsremoderator muss zusätzlich aufgrund der geringen Energie des einfallenden Positronenstrahls die Dicke der Folie reduziert werden. Wolframfolien von der hier benötigten Dicke von 0,1 µm sind jedoch schwierig zu handhaben und neigen dazu sich zu „werfen“, was zu einer erheblichen Erhöhung der Winkeldivergenz führt [Pio05]. Mit aus Nickel hergestellten Folien lässt sich diesem Problem jedoch begegnen, da durch die niedrigere Kernladungszahl Z und der damit verbundenen größeren Positronenimplantationstiefe dickere Folien benutzt werden können. Mit Remoderatorfolien aus Nickel wurde eine kurzzeitige Moderationseffizienz von über 20 % erreicht (stabil: 6,5 %) [Fuj07].

Demgegenüber hat man das Problem der Unebenheiten auf der Oberfläche beim Reflexionsremoderator nicht, da sich die hier eingesetzten Moderatorkristalle sehr

präzise fertigen lassen. Hier liegt die Herausforderung jedoch bei der unterschiedlichen Strahlführung von eingehendem und ausfallendem Strahl. Abbildung 3.6 zeigt die Schnittdarstellung des an NEPOMUC eingesetzten Reflexionsremoderators. Der Primärstrahl ($E_{kin} \approx 1000\,\text{eV}$) tritt auf der rechten Seite in den Remoderator ein und wird von elektrostatischen Linsen auf den Wolfram(100)-Kristall fokussiert. Die remoderierten Positronen werden magnetisch nach unten geführt und verlassen den Remoderator. Ermöglicht wird diese Strahlführung durch die unterschiedlichen Energien von eingehendem und ausfallendem Strahl: Der schnelle einfallende Strahl wird durch das magnetische Feld am Ausgang nur wenig abgelenkt. Mit diesem Moderatortyp werden üblicherweise Effizienzen von $\approx 5\,\%$ (siehe dazu Abschnitt 6.6) erreicht [PKE+07].

3.5. Gasmoderation und Positronenakkumulatoren

Ein anderer Ansatz ist die Benutzung von Gas als Moderator für Positronen. Bereits 1989 zeigten C. M. Surko et al., dass es möglich ist, Positronen effektiv in Stickstoff abzubremsen und in einer Falle zu speichern [SLP89]. Sein primäres Ziel war es jedoch, Positronen in der Penning-Falle zu sammeln, um einerseits Untersuchungen an einem Elektronen-Positronen-Plasma durchzuführen und andererseits alle gesammelten Positronen auf einmal aus der Falle heraus zu lassen. Somit handelt es sich hierbei auch um eine Brillanzerhöhung, da etwa $6 \cdot 10^7$ Positronen in eine Zeitspanne von gerade einmal 1 ns „komprimiert“ wurden. Damit war es zum ersten Mal möglich mit einem „Schuss“ ein ganzes Positronium-Lebensdauerspektrum aufzunehmen - bei einer Zeitauflösung von 1,55 ns [CDGJ06]. Die dieser Positronenfalle zugrunde liegende Physik des Abbremsens von Positronen in einem Gas wird im nächsten Kapitel vorgestellt.

4. Positronen im Gas

4.1. Wechselwirkungen von Positronen mit Gasmolekülen

Im Folgenden werden verschiedene Möglichkeiten aufgeführt, wie Positronen mit Atomen und Molekülen eines Gases wechselwirken können. Exemplarisch wird dies am Beispiel des Stickstoffs gezeigt, da dieser für die späteren Messungen verwendet wurde.

4.1.1. Positroniumsbildung

Durch Stoßionisation eines Moleküls oder Atoms durch ein Positron kann das frei gewordene Elektron zusammen mit dem Positron einen neuen Bindungszustand eingehen. Dieser wasserstoffähnliche Zustand wird Positronium (abgekürzt Ps) genannt. Durch die identischen Massen von Elektron und Positron verringert sich die reduzierte Masse des Systems im Vergleich zum Wasserstoff um den Faktor Zwei. Die Bindungsenergie des Positroniums beträgt damit 6,8 eV - genau halb soviel wie die Ionisierungsenergie beim Wasserstoffatom. Je nach Gesamtspin S unterscheidet man zwischen Ortho- und Parapositronium. Während das Parapositronium (S=0) mit einer Lebensdauer von 125 ps in zwei Gammaquanten zerstrahlt, ist dies beim Orthopositronium (S=1) aus Spinerhaltungsgründen nicht möglich. Somit muss das Orthopositronium in mindestens drei Gammas mit einer Gesamtenergie von 1,022 MeV zerfallen. Dadurch ist dessen Lebensdauer mit 142 ns bedeutend länger.

4.1.2. Direkte Annihilation

Im Gegensatz zur Positroniumsbildung zerstrahlt ein Positron bei der direkten Annihilation mit einem Elektron eines Gasatoms ohne zuvor einen gebunden Zustand mit diesem einzugehen. Es lässt sich zeigen, dass der Wirkungsquerschnitt für die direkte Annihilation eines Positrons im Gas durch die folgende Formel gegeben ist (mit $r_0 = 2,82 \cdot 10^{-15}$ m als klassischem Elektronenradius und der Relativgeschwindigkeit zwischen den Teilchen v):

$$\sigma_{dir.Ann.} = \pi r_0^2 \frac{c}{v} \approx 1,26 \cdot 10^{-22} \mathrm{cm}^2 / \sqrt{E/\mathrm{eV}} \tag{4.1}$$

Dieser Wirkungsquerschnitt liegt damit, wie man später sieht, um einige Größenordnungen unter denen der anderen Wechselwirkungen und kann daher vernachlässigt werden [Blu00].

4.1.3. Elastische Streuung

Beim elastischen Stoß wird ein Teil der kinetischen Energie eines Stoßpartners in kinetische Energie des anderen Stoßpartners umgewandelt. Die gesamte kinetische Energie bleibt also erhalten. Die Übertragung von kinetischer Energie ist umso effektiver, je weniger sich die Massen der beiden Stoßpartner unterscheiden. Da die Masse des Stickstoffmoleküls jedoch die des Positrons um mehr als das 50000-fache übersteigt, ist die übertrage Energie pro Stoß nur etwa $3,9 \cdot 10^{-5}$ mal der Eingangsenergie [CGH81].

4.1.4. Rotationsanregung

Unter Rotationsanregung versteht man das Rotieren der Atome eines Moleküls um den gemeinsamen Schwerpunkt. Rotationsanregungen treten daher nur bei molekularen Gasen (H_2, O_2, N_2, etc.) und nicht bei atomaren Gasen wie z. B. Helium auf. Die Energieniveaus von Rotationsanregungen lassen sich nach [Tip00] folgendermaßen berechnen:

$$E_{rot} = \frac{J(J+1)\hbar^2}{2I} = J(J+1)B \text{ mit } J = 0, 1, 2, ... \tag{4.2}$$

Dabei ist I das Trägheitsmoment des Moleküls, J die Rotationsquantenzahl und B die charakteristische Rotationsenergie des Moleküls:

$$B = \frac{\hbar^2}{2I} \tag{4.3}$$

Für ein zweiatomiges Molekül gleicher Atome gilt für das Trägheitsmoment

$$I = \frac{1}{2}mr^2. \tag{4.4}$$

Wobei r der Abstand der beiden Moleküle ist. Die sich daraus ergebenden charakteristischen Rotationsenergien liegen im Bereich von 10^{-4} eV (für Stickstoff: $B = 2,49 \cdot 10^{-4}$ eV [CGH81]) und damit unterhalb der thermischen Energie. Aufgrund der Auswahlregel $\Delta J = \pm 1$ darf sich die Rotationsquantenzahl J bei Übergängen zwischen den Zuständen nur um 1 ändern.

4.1.5. Vibrationsanregung

Vibrationsanregungen sind Schwingungen der Atome eines Moleküls untereinander. Sie können daher wie Rotationsanregungen nicht bei atomaren Gasen auftreten. Die Energieniveaus lassen sich durch einen quantenmechanischen harmonischen Oszillator beschreiben:

$$E_{vib} = \left(\nu + \frac{1}{2}\right) hf \text{ mit } \nu = 0, 1, 2, 3, ... \tag{4.5}$$

Dabei ist ν die Schwingungsquantenzahl, f die Schwingungsfrequenz und h das plancksche Wirkungsquantum. Es gilt analog zu den Rotationsanregungen die Auswahlregel $\Delta\nu = \pm 1$, wobei die Energie eines Übergangs etwa im Bereich von $10^{-1}\,\mathrm{eV}$ liegt.

4.1.6. Stoßionisation

Bei der Stoßionisation wird ein Elektron aus der Elektronenhülle eines Atoms herausgeschlagen. Geschieht dies durch ein anderes Elektron, so benötigt dieses mindestens eine kinetische Energie von der Größe der Ionisierungsenergie. Bei Positronen liegt diese Energieschwelle um 6,8 eV niedriger, was der Bindungsenergie des Positroniums entspricht. Die für die Ionisation benötigte Energie wird nämlich zu einem Teil aus der durch Positroniumsbildung gewonnenen Bindungsenergie bereitgestellt und reduziert daher die Energieschwelle, ab der Ionisation erfolgt, um diesen Betrag. Demnach können bei der Ionisation eines Atoms A (oder, analog dazu, des Moleküls AB) zwei mögliche Reaktionen erfolgen:

$$\mathrm{e^+ + A \rightarrow A^+ + e^- + e^+} \tag{4.6}$$

$$\mathrm{e^+ + A \rightarrow A^+ + Ps} \tag{4.7}$$

Die erste Reaktion wird als direkte Ionisation - oder auch, aus dem Englischen, als reine Ionisation („pure ionisation“, [Blu00]) - bezeichnet, während die zweite Reaktion „Einfang“ („capture“) genannt wird. Man unterscheidet daher zwischen den Wirkungsquerschnitten für die direkte Ionisation σ_{dir} und dem für die totale σ_{tot}, wobei gilt

$$\sigma_{tot} = \sigma_{dir} + \sigma_{Ps} \tag{4.8}$$

Dabei ist σ_{Ps} der Wirkungsquerschnitt für die Positroniumsbildung. Ist die Energie des einfallenden Positrons hoch genug, kann das Atom oder das Molekül auch mehrfach ionisiert werden. Im Stickstoff liegt die Schwelle für die direkte einfache Ionisierung (also $N_2 \rightarrow N_2^+$) bei $E_{dir} = 15,58\,\mathrm{eV}$ und somit die für Positroniumsbildung um 6,8 eV niedriger bei $E_{Ps} = 8,78\,\mathrm{eV}$.

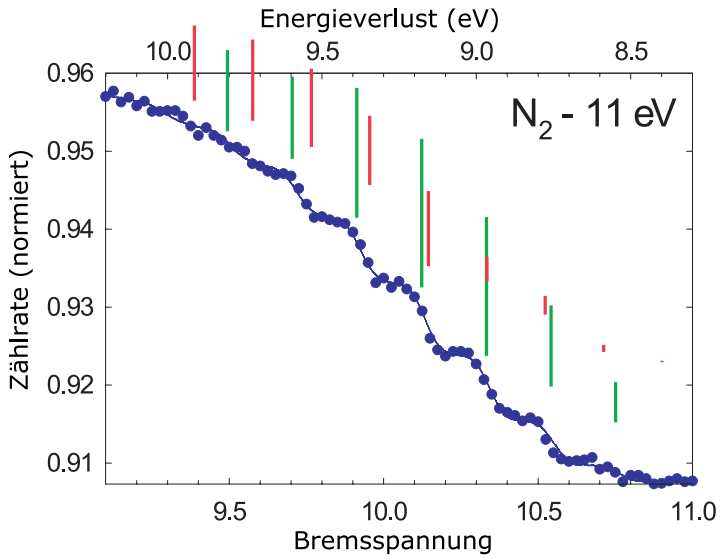

Abbildung 4.1.: Elektronische Anregungen in Stickstoff (aus [Mar05]): Ein 11 eV Positronenstrahl wird durch eine mit Stickstoff gefüllte Zelle gelenkt und am Ausgang nach Durchlaufen einer variablen Gegenspannung durch einen Detektor analysiert. Aufgetragen ist die (normierte) Zählrate als Funktion der Bremsspannung. An den Positionen der Stufen im Spektrum lässt sich an der oben aufgetragenen x-Achse der Energieverlust der Positronen ablesen.

4.1.7. Elektronische Anregung

Ähnlich wie bei der Stoßionisation gibt das Positron einen Teil seiner kinetischen Energie an ein Hüllenelektron des Gasmoleküls ab, das dadurch jedoch nicht die Elektronenhülle verlässt, sondern in einen angeregten Zustand gelangt. Unter Aussendung eines Photons fällt das Elektron wieder zurück in den Grundzustand. Dadurch, dass sich bei einem Übergang jedoch auch die Vibrationsquantenzahl ν sowie die Rotationsquantenzahl des Moleküls J ändern können, wird aus einem elektronischen Übergang eine ganze Absorptionsbande. Abbildung 4.1 zeigt ein (integrales) Absorptionsspektrum für 11 eV-Positronen in Stickstoff. Jede Stufe stellt dabei einen elektronischen Übergang da. Man sieht, dass Positronen durch elektronische Anregungen Energien von etwa 8,5 bis 10 eV verlieren können. Die Aufweitung des elektronischen Spektrums wird hier durch zwei verschiedene Vibrationsanregungen sichtbar (grüne und rote Linien).

4.2. Wirkungsquerschnitte und freie Weglängen

Da die vorgestellten Wechselwirkungen in weiten Energiebereichen miteinander konkurrieren, benötigt man ihre energieabhängigen Wirkungsquerschnitte, um Aussagen über das Moderationsverhalten im Gas machen zu können. Der Wirkungsquerschnitt σ ist definiert als das Verhältnis aus der Anzahl der pro Zeiteinheit und Gasmolekül stattfindenden Reaktionen R und der Intensität der einfallenden Teilchen I (in diesem Fall also der Positronen):

$$\sigma = \frac{R}{I} \tag{4.9}$$

Der Wirkungsquerschnitt lässt sich auch durch eine mittlere freie Weglänge λ der Positronen ausdrücken. Sie gibt die Länge der Flugstrecke an, nach der die Wahrscheinlichkeit, dass keine Wechselwirkung des Positrons mit dem Gas stattgefunden hat nur noch e^{-1} ($\approx 37\,\%$) beträgt. Oder mit anderen Worten: 63 % aller Positronen wechselwirken mit dem Gas, bevor sie die Strecke λ durchfliegen.

$$\lambda = \frac{1}{\sigma \rho_T} \tag{4.10}$$

Dabei ist ρ_T die vom Druck P und der Temperatur T abhängige Teilchendichte des Gases:

$$\rho_T = \frac{P}{k_B T} \tag{4.11}$$

4.3. Wirkungsquerschnitte im Stickstoff

Für die oben vorgestellten Wechselwirkungen der Positronen im Gas werden nun die Wirkungsquerschnitte in Stickstoff dargelegt und erläutert. Abbildung 4.2 zeigt den totalen Wirkungsquerschnitt[1] in Einheiten von a_0^2 als Funktion der Energie der Positronen. Im totalen Wirkungsquerschnitt sind alle Wechselwirkungen zwischen Gas und Positronen enthalten. Mit ihm lassen sich daher keine Aussagen über die Moderation von Positronen im Gas treffen. Daher sollen zunächst die Wirkungsquerschnitte der elektronischen Anregungen und der Ionisation (inkl. Positroniumsbildung) betrachtet werden. Abbildung 4.3 zeigt die Wirkungsquerschnitte von Positroniumsbildung, direkter Ionisation und der Summe aus beiden, der totalen Ionisation. Die vertikalen Linien zeigen die Schwellwerte für Positroniumsbildung (8,78 eV) und Ionisation (15,58 eV). Somit können Positronen mit Energien zwischen diesen beiden Schwellenenergien - diesen Bereich nennt man auch „Ore Gap“ [Ore49] - das Gas nur durch Positroniumsbildung ionisieren, und gehen damit für die Moderation verloren. Erst ab etwa 40 eV übertrifft der Wirkungsquerschnitt der direkten Ionisation den der Positroniumsbildung.

[1] Der Wirkungsquerschnitt wird hier in Einheiten von $a_0^2 = 2,8 \cdot 10^{-21}\,\mathrm{m}^2$ angegeben. a_0 ist dabei der Bohrsche Radius.

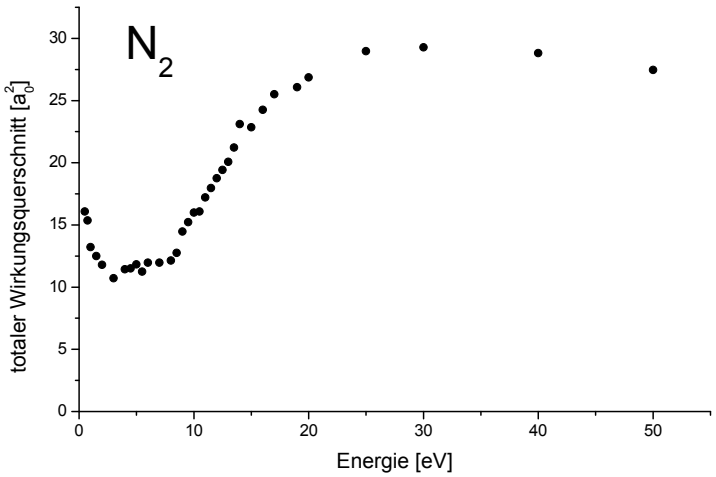

Abbildung 4.2.: Totaler Wirkungsquerschnitt von Positronen im Stickstoff

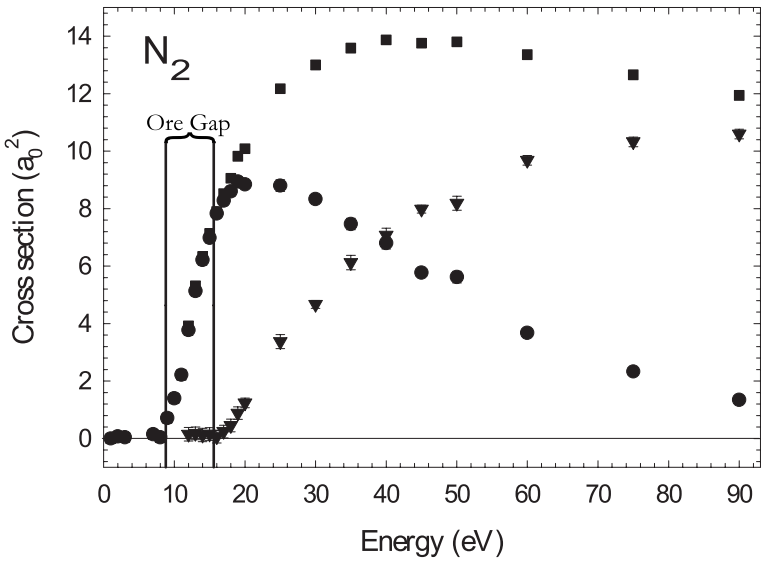

Abbildung 4.3.: Wirkungsquerschnitte von totaler Ionisation (■), direkter Ionisation (▼) und Positroniumsbildung (●) in Stickstoff (aus [Mar05]).

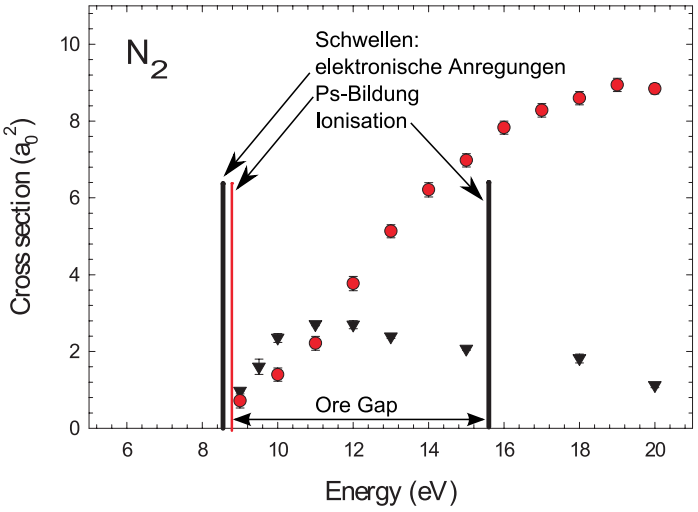

Abbildung 4.4.: Wirkungsquerschnitte von Positroniumsbildung (●) und elektronischen Anregungen (▼) in Stickstoff (aus [Mar05]). Die vertikalen Linien geben die Energieschwellen der beiden Anregungen an.

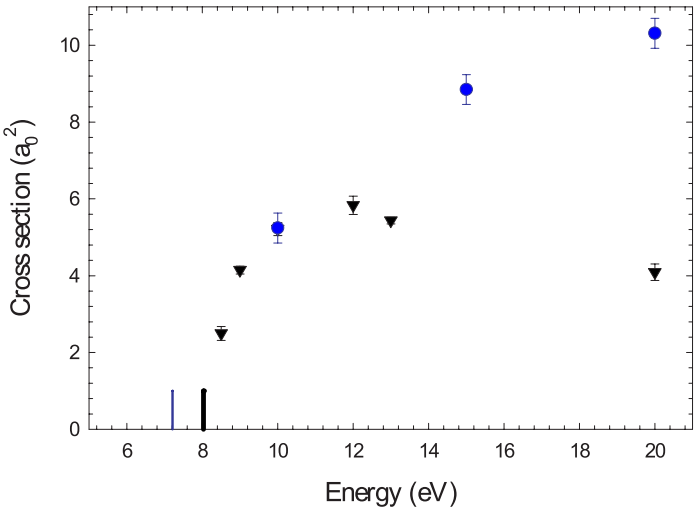

Abbildung 4.5.: Wirkungsquerschnitte von Positroniumsbildung (●) und elektronischen Anregungen (▼) in CO (aus [Mar05]). Die vertikalen Linien geben die Energieschwellen der beiden Anregungen an (blau: Positroniumsbildung, schwarz: elektr. Anregungen).

Vergleicht man den Wirkungsquerschnitt der elektronischen Anregungen mit dem der Positroniumsbildung (siehe Abbildung 4.4), stellt man fest, dass Positronen deren Energien im „Ore Gap“ liegen, diesen Bereich durch elektronische Anregung eines Stickstoffmoleküls wieder verlassen können, da sie pro Stoß eine Energie von 8,5 bis 10 eV verlieren. Der Wirkungsquerschnitt für diesen Prozess liegt jedoch um einen Faktor von bis zu 4,5 unter dem für Ps-Bildung. Somit wird ein Großteil der Positronen in diesem Energiebereich verloren gehen. Eine positive Eigenschaft des Stickstoffs wird jedoch deutlich, wenn man die Grenzwerte beider Prozesse vergleicht. So liegt die Energieschwelle für Positroniumsbildung (8,78 eV) über der der tiefsten elektronischen Anregung von 8,55 eV [Mar05]. Bei anderen Molekülen wie CO oder O_2 ist dies nicht der Fall. Bei Sauerstoff liegt die Schwelle für Positroniumsbildung z. B. um 1,65 eV unter der für elektronische Anregungen; bei CO um 0,86 eV (siehe Abbildung 4.5) [MS05]. Damit geht ein Großteil der in dieses Energiefenster heruntergestreuten Positronen verloren, da ein weiteres Abbremsen der Positronen dort hauptsächlich nur noch durch Vibrationsanregungen möglich ist. Der durch Vibrationsanregungen erreichbare Energieverlust liegt jedoch im Bereich von einigen 10^{-1} eV, weshalb mehrere Stöße notwendig sind, um unter die Positroniumsbildungsschwelle zu gelangen. Da die Wirkungsquerschnitte für beide Prozesse in derselben Größenordnung liegen, wird mit steigender Anzahl an Stößen die Wahrscheinlichkeit für die Annihilation der Positronen durch Positroniumsbildung immer größer. Darüber hinaus kommt beim Stickstoff hinzu, dass im Bereich von 8,55 bis etwa 11,5 eV der Wirkungsquerschnitt für elektronische Anregungen größer ist als der für Positroniumsbildung, was bei CO beispielsweise nicht der Fall ist.

Bisher wurden Vibrations- und Rotationsanregung, sowie die elastische Streuung vernachlässigt, da deren Beitrag zur Moderation (Energieübertrag $\leq 10^{-1}$ eV) im Vergleich zu den oben genannten vernachlässigbar klein ist. Im Energiebereich unterhalb der Schwelle für elektronische Anregungen sind jedoch hauptsächlich Vibrationsanregungen für die Moderation der Positronen im Stickstoff verantwortlich, bis die Positronen auch diese Energieschwelle unterschritten haben ($E_{vib} = 0,290$ eV, [CGH81]). Wirkungsquerschnitte für diesen Prozess sind bisher noch nicht gemessen worden.

Für Energien unterhalb von E_{vib} bis zur Thermalisierung werden schließlich elastische Streuung und Rotationsanregungen relevant. Abbildung 4.6 zeigt beide Wirkungsquerschnitte im Bereich einiger 100 meV. Trotz des etwa um den Faktor 200 höheren Wirkungsquerschnitts für elastische Streuung hat dieser Prozess jedoch nur einen Anteil von $\approx 25\,\%$ an der Thermalisierung unterhalb von E_{vib}. Dies liegt an den in Abschnitt 4.1.3 erläuterten geringen Energieverlusten der Positronen bei der elastischen Streuung.

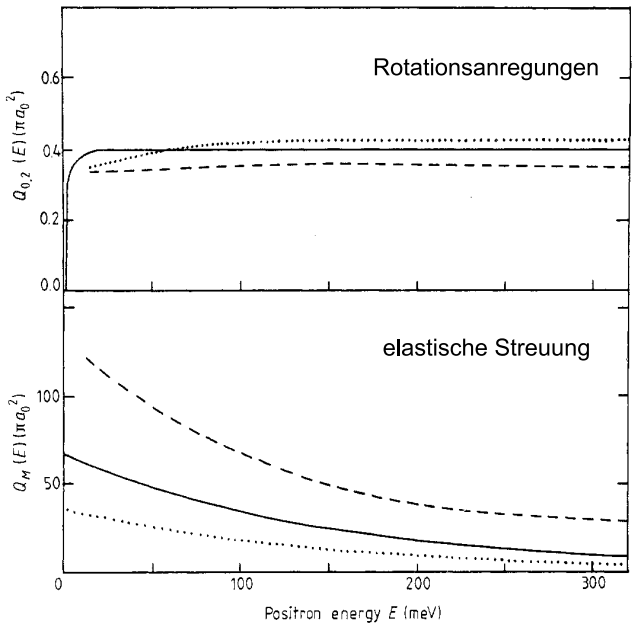

Abbildung 4.6.: Wirkungsquerschnitte von Rotationsanregungen (oben) und elastischer Streuung (unten) (aus [CGH81])

4.4. Abschätzung der maximalen Ausbeute an (re)moderierten Positronen

Zur Abschätzung der Effizienz der Moderation im Gas wurden die Wechselwirkungen der Positronen im Stickstoff mit einer, im Rahmen dieser Diplomarbeit erstellten, Monte-Carlo-Simulation am Computer untersucht. Dabei werden die einzelnen Stöße und die dadurch bedingten Energieverluste eines Positrons simuliert. Mit Hilfe der Wirkungsquerschnitte lässt sich, abhängig von der momentanen Energie des Positrons, eine Wahrscheinlichkeit für jeden Wechselwirkungsprozess berechnen. Unter Berücksichtigung dieser Wahrscheinlichkeiten bestimmt ein Zufallsgenerator vor jedem Stoß die Art der Wechselwirkung, mit der das Positron mit dem Gasmolekül wechselwirkt. Davon abhängig verliert das Positron durch den Stoß entweder eine bestimmte Energie oder bildet zusammen mit einem Elektron Positronium. Dies wird für jedes Positron solange wiederholt, bis es entweder eine Energie unterhalb der Schwelle für Positroniumsbildung erreicht oder eben durch Positroniumsbildung verloren geht. Aus dem Anteil der Positronen, die unter die Schwelle für Positroniumsbildung gestreut werden und der primären Positronenintensität lässt sich wiederum eine Moderationseffizienz berechnen. Für jede Anfangsenergie eines Positrons muss diese Simulation nun mehrere Tausend bis Millionen Mal durchgeführt werden, damit die Effizienz aufgrund des Gesetzes der großen Zahlen gegen einen

Wert konvergiert. Bei der Simulation wurden folgende Vereinfachungen gemacht:

- Die Simulation eines Positrons wurde gestoppt und das e^+ als moderiert eingestuft, sobald es eine Energie unterhalb der Ps-Bildungsschwelle von 8,78 eV hatte.
- Es wurden nur Ps-Bildung, Ionisation, elektrische Anregungen und elastische Streuung simuliert. Vibrations- und Rotationsanregungen wurden mit dem Wirkungsquerschnitt für elastische Streuung zusammengefasst, wobei der Energieverlust vernachlässigt wurde.
- Der Energieverlust durch elektronische Anregungen (Abbildung 4.1) wurde durch eine Gleichverteilung genähert. Somit konnte der Einfachheit halber ein gleichverteilter Zufallswert zwischen 8,5 und 10 eV verwendet werden.
- Der Energieübertrag durch Ionisation wurde durch einen sinusförmig verteilten Zufallswert bestimmt. Dies bedeutet, dass die Wahrscheinlichkeit für einen Energieübertrag, der gerade der Ionisationsenergie von 15,58 eV entspricht, sowie für den Übertrag der gesamten kinetischen Energie des Positrons gegen Null geht. Das Maximum der Wahrscheinlichkeit liegt in der Mitte zwischen diesen beiden Werten. Abbildung 4.7 zeigt die Sinusverteilung, wobei ein Wert von 0 gerade einem Energieübertrag von 15,58 eV und ein Wert von 1 den Übertrag der kompletten kinetischen Energie des Positrons auf das Elektron entspricht.

Abbildung 4.8 zeigt die berechnete Effizienz als Funktion der Eingangsenergie der Positronen. Von C. M. Surko et al. wurde eine Transmission eines 40 eV Strahls in Stickstoff von 25 % gemessen [SLP89]. Der hier für 40 eV simulierte Wert von ca. 26 % stimmt damit sehr gut überein.

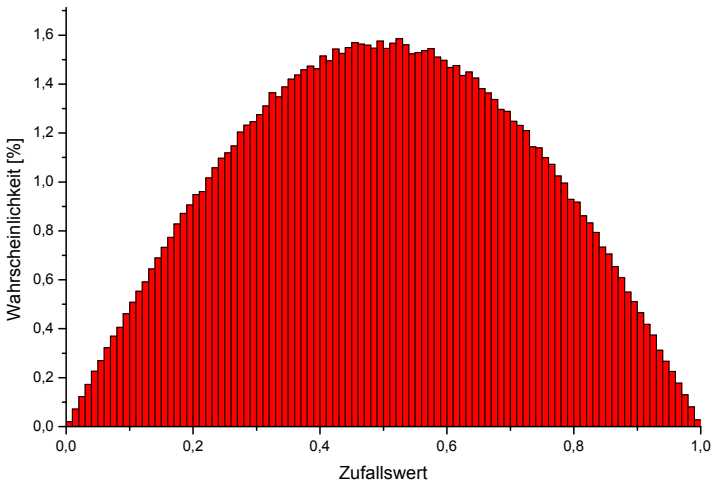

Abbildung 4.7.: Histogramm einer Sinusverteilung, gebildet aus einer Million Zufallswerten.

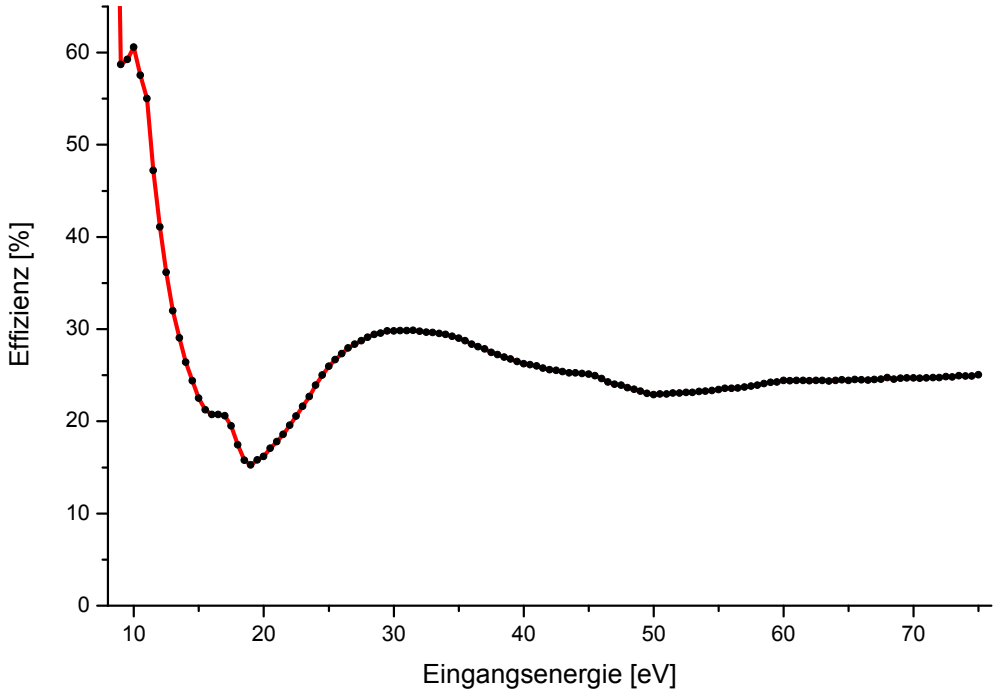

Abbildung 4.8.: Moderationseffizienz als Funktion der Eingangsenergie. Für jeden Energiewert wurden eine Million Positronen simuliert.

5. Entwicklung des Gasmoderators

In diesem Kapitel wird die Entwicklung und der Aufbau des Moderators erläutert.

5.1. Prinzip

Abbildung 5.1 zeigt den prinzipiellen Aufbau des Gasmoderators. Von der linken Seite ankommende Positronen werden am Eingang der Moderatorzelle durch eine Bremsspannung U_1 abgebremst und gelangen durch eine kleine Öffnung in das Innere der Zelle. Dort stoßen die Positronen mit den Gasmolekülen, werden abgebremst und driften durch weitere Stöße entlang den Feldlinien eines fokussierenden elektrischen Feldes Richtung Ausgang. Nach dem Passieren des Ausgangs werden die nun thermalisierten Positronen durch ein Potential U_2 wiederum beschleunigt. Durch differentielles Pumpen am Eingang und Ausgang muss dabei sicher gestellt werden, dass der Druck im Strahlrohr so gering ist, dass dort keine Positronen streuen und verloren gehen. In dieser Arbeit soll das Einkoppeln der Positronen in die Gaszelle realisiert und deren Energie am Ausgang analysiert werden.

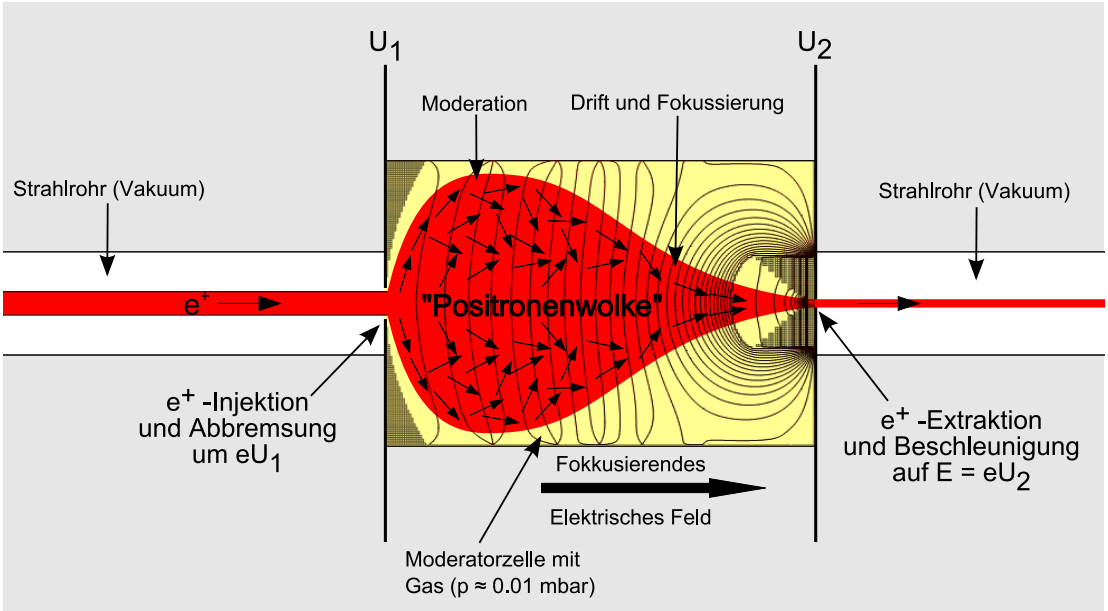

Abbildung 5.1.: Prinzipskizze des Gasmoderators

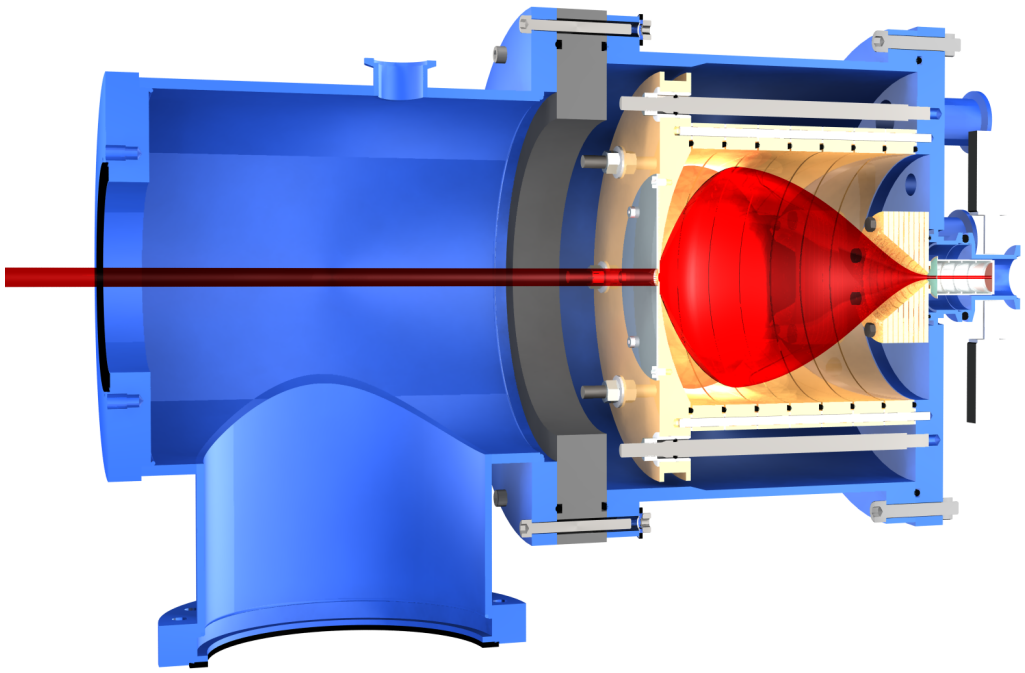

Abbildung 5.2.: Schnittdarstellung des Versuchsaufbaus

5.2. Experimenteller Aufbau

5.2.1. Mechanische Konstruktion

Abbildung 5.2 zeigt eine Schnittdarstellung des gesamten Versuchsaufbaus. Dieser lässt sich in zwei Bereiche teilen: Positronen passieren zunächst ein sogenanntes Pumprohr, an dem an der Unterseite eine Turbomolekularpumpe (nicht eingezeichnet) angeflanscht ist. Durch einen (grau eingezeichneten) elektrisch isolierenden PVC-Flansch ist rechts an diesem Pumprohr die Moderatorzelle befestigt. Das Strahlrohr der NEPOMUC-Quelle ist an der linken Seite des Pumprohrs montiert.

Eine vergrößerte Darstellung der Gaszelle zeigt Abbildung 5.3. Die gesamte Zelle ist auf der rechts im Bild sichtbaren Rückplatte montiert. Aufgebaut ist die Zelle aus sieben Metallringen, an denen später die elektrischen Potentiale angelegt werden und daher untereinander durch O-Ringe aus Nitrilkautschuk elektrisch isoliert sind. Gleichzeitig dichten diese O-Ringe die Gaszelle auch zum Hochvakuumbereich nach außen ab. Auf der linken Seite wird die Gaszelle durch die Frontplatte abgeschlossen. Zum Einkoppeln der Positronen befindet sich in der Frontplatte ein 20 mm großes

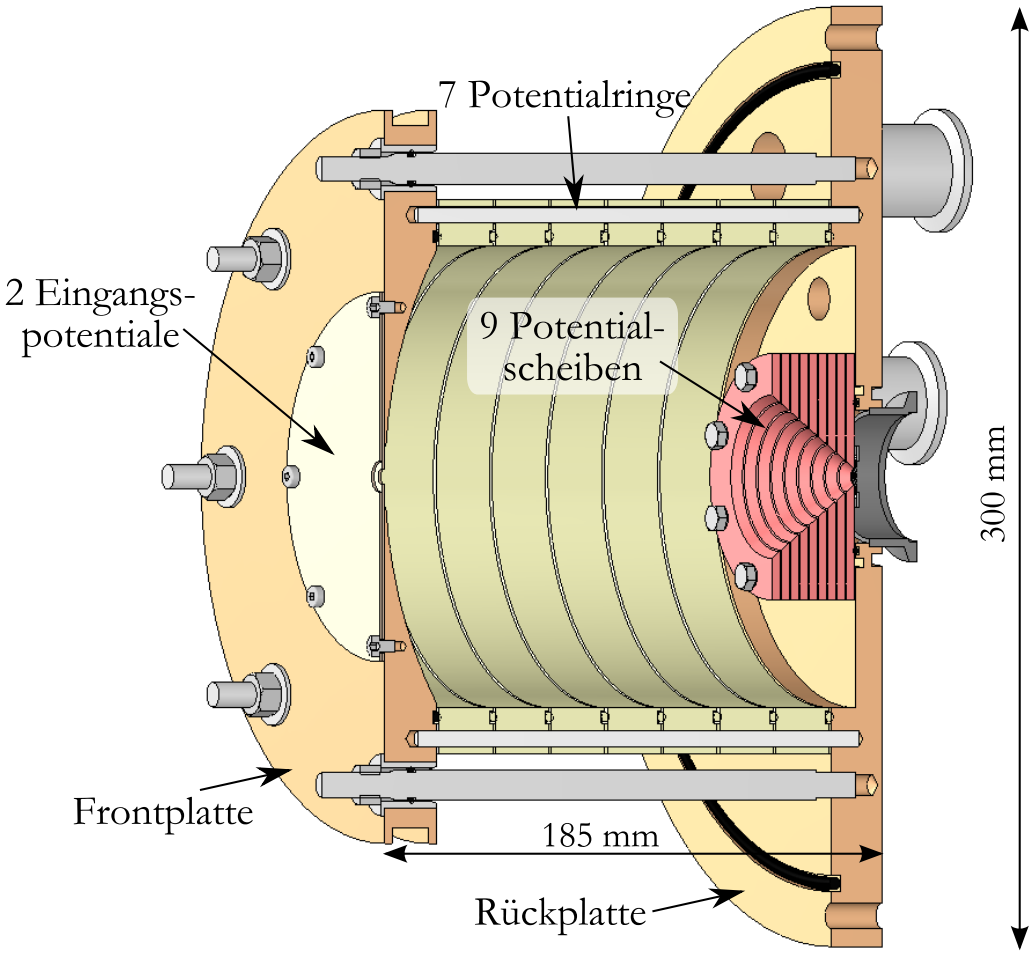

Abbildung 5.3.: Schnittdarstellung der Gaszelle

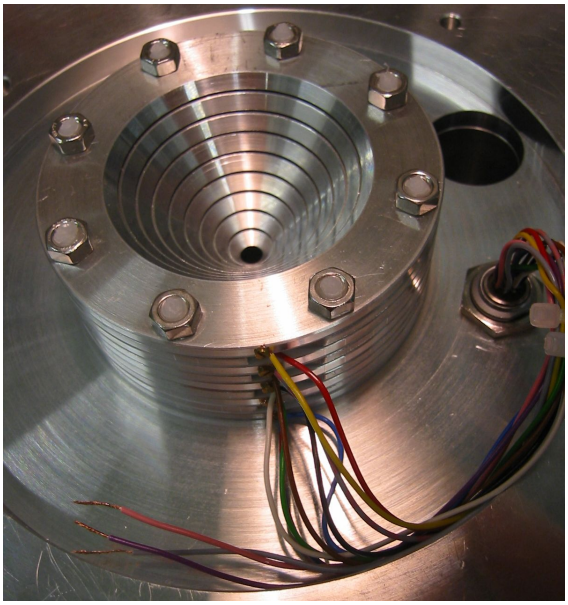

Abbildung 5.4.: Foto der auf der Rückplatte befestigten, konisch zulaufenden Potentialscheiben zur Fokussierung des Strahls. Die Scheiben sind untereinander durch Teflonfolien isoliert und werden durch Kunststoffschrauben zusammengehalten. Zwischen den Scheiben gelangt das Gas in die Moderatorzelle (siehe Abschnitt 5.2.4). Das gewölbte Gitter ist hier noch nicht montiert.

Loch. Zur Verbesserung des Drucks im Pumprohr wurde jedoch die Größe dieses Loch reduziert, indem ein Metallblech mit einem Lochdurchmesser von nur 3 mm vor die Öffnung in der Frontplatte montiert wurde. Vor dieses Blech wurde, getrennt durch eine isolierende Teflonfolie, ein weiteres Metallblech mit einem etwas größeren Loch (5 mm) befestigt. Dieses Blech wurde auf Masse gesetzt. Der Sinn dieses Blechs besteht darin, die Positronen in einem möglichst homogenen elektrischen Feld abzubremsen. Zur Verbesserung der Feldhomogenität wurden in die Öffnungen beider Bleche außerdem noch feine Drahtgitter eingebaut.

Um die Positronen durch ein elektrisches Feld auf den Ausgang fokussierend zu driften wurden neun konisch zulaufende voneinander isolierte Potentialscheiben direkt auf die Rückplatte montiert (siehe Abbildung 5.4). Die Ausgangsöffnung der kleinsten Scheibe hat einen Durchmesser von 5 mm. Hinter dieser Öffnung wurde wiederum ein Gitter befestigt, das von der letzten Scheibe isoliert ist. Zusätzlich wurde ein nach außen gewölbtes Gitter über die 53 mm große Eingangsöffnung gelegt um die Fokussierung des Feldes zu verstärken.

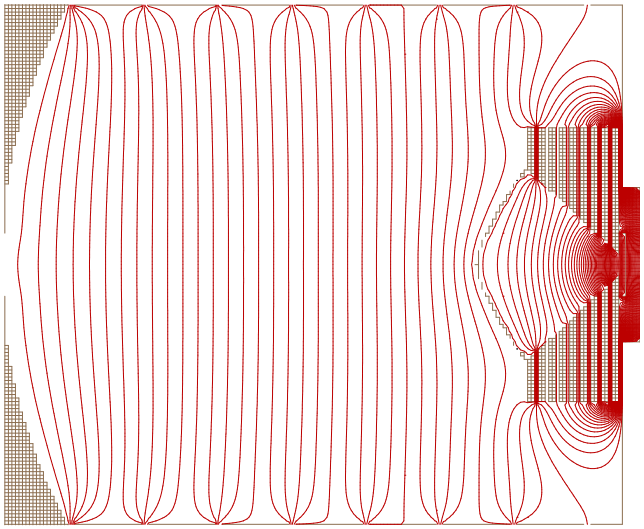

Abbildung 5.5.: Elektrisches Feld in der Gaszelle

5.2.2. Elektrische Potentiale

Da sich alleine im Inneren der Gaszelle 16 Elektroden befinden, wurde das elektrische Feld mithilfe des Simulationsprogramms SIMION 3D optimiert. Abbildung 5.5 zeigt das elektrische Feld wie es bei den Messungen in Abschnitt 6.5 eingestellt wurde. Die roten Linien stellen die Äquipotentiallinien dar. Die Richtung der elektrostatischen Kraft ist senkrecht dazu und insgesamt nach rechts gerichtet. Von der Frontplatte (links) nehmen die Spannungen an den Potentialringen linear von 48 Volt auf 46,6 Volt ab. Im Trichter dagegen nehmen die Spannungen zum Fokus hin in etwa mit r^{-1} ab. Das gewölbte Gitter liegt dabei auf etwa 46,7 Volt und das Gitter am Ausgang auf 44,5 Volt. Die auf diese Weise erzeugten Äquipotentialflächen entsprechen etwa derjenigen einer für das Positron attraktiven Punktladung am Ausgang.

5.2.3. Positronenstrahlführung

Bis zum Eingang des Pumprohrs werden die Positronen durch Solenoidspulen, die auf das Strahlrohr gewickelt sind, geführt. Abbildung 5.6 zeigt die am Versuchsaufbau angebrachten Spulen.[1] Die Richtung des erzeugten longitudinalen Magnetfeldes zeigt in Strahlrichtung. Um zu verhindern, dass die Positronen durch Streuung in der Gaszelle auseinander laufen wurde in der Gaszelle ein stärkeres B-Feld von ca. 21 mT eingestellt.

[1] Stromstärken siehe Abschnitt A.2. Spule 2 und 4 sind nicht eingezeichnet da sie bei den Messungen nicht benutzt wurden. Spule 2 befindet sich links von Spule 3 und Spule 4 unter Spule 5 zwischen den Flanschen.

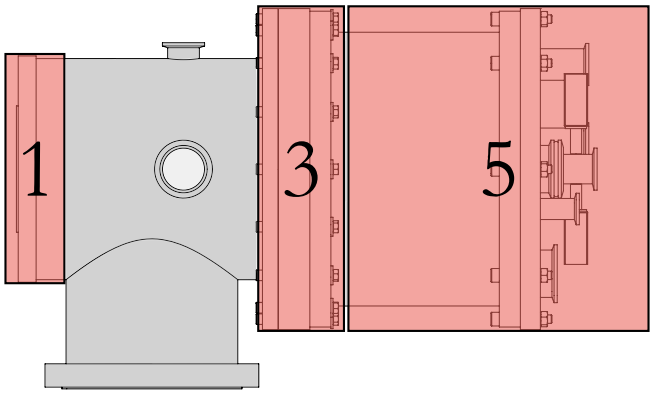

Abbildung 5.6.: Übersicht der Solenoidspulen am Versuchsaufbau

5.2.4. Gas- und Vakuumsysteme

Eine besondere Herausforderung des Aufbaus liegt im differentiellen Pumpen des Moderatorgases Stickstoff. Damit ist gemeint, dass das aus der Eintrittsöffnung der Gaszelle strömende Gas möglichst effektiv aus dem Bereich vor der Zelle abgepumpt werden muss. Dies wurde durch einen dreistufigen Pumpstand realisiert: Während es normalerweise ausreicht eine Turbopumpe nur mit einer Vorpumpe zu betreiben, wurde hier zusätzlich noch eine leistungsstarke Wälzkolbenpumpe zwischen Vor- und Turbopumpe geschaltet. Darüber hinaus wurde eine besonders starke Turbomolekularpumpe mit einem großem Nenndurchmesser von 160 mm beschafft. Bei einem Druck von $2,3 \cdot 10^{-2}$ mbar in der Moderatorzelle, wie bei den Messungen in Abschnitt 6.5, lag der Druck im Pumprohr bei guten $6,5 \cdot 10^{-5}$ mbar, was einer mittleren freien Weglänge für Positronen von etwa 8 m entspricht. Der Druck wurde somit durch differentielles Pumpen, relativ zur Moderatorzelle, um einen Faktor von ca. 300 reduziert.

Eingelassen wird das Moderatorgas durch ein fein einstellbares Nadelventil an der Rückplatte des Moderators. Durch die in Abbildung 5.7 grün eingezeichneten Kanäle gelangt es schließlich zwischen den konisch zulaufenden Potentialscheiben in die Zelle. Zusätzlich besteht die Möglichkeit über einen anderen Anschluss an der Rückplatte Gas direkt hinter der Frontplatte einzulassen, was aber in dieser Arbeit nicht genutzt wurde.

5.3. Nachweis der Positronen im System

5.3.1. Analyse der moderierten Positronen

Um die Energie der remoderierten Positronen zu analysieren, wurde hinter dem Ausgangsgitter des Gasmoderators ein Bremsgitter installiert dessen Spannung

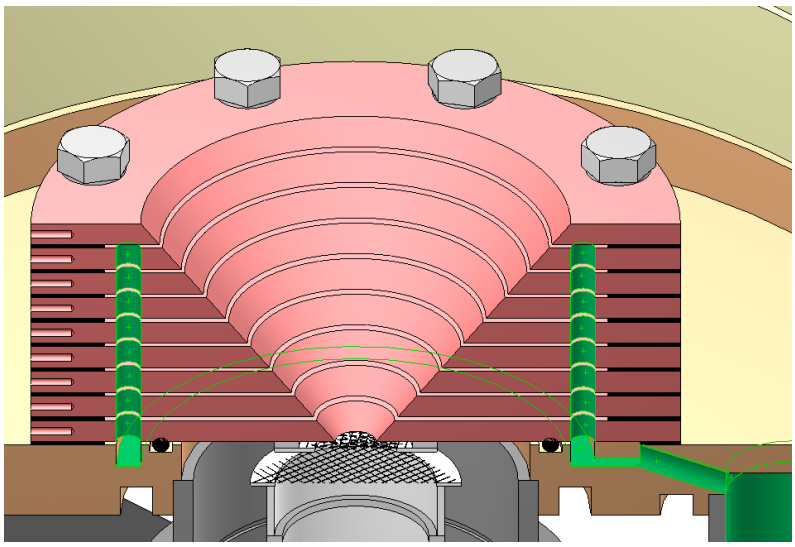

Abbildung 5.7.: Schnittdarstellung des Gaseinlasses

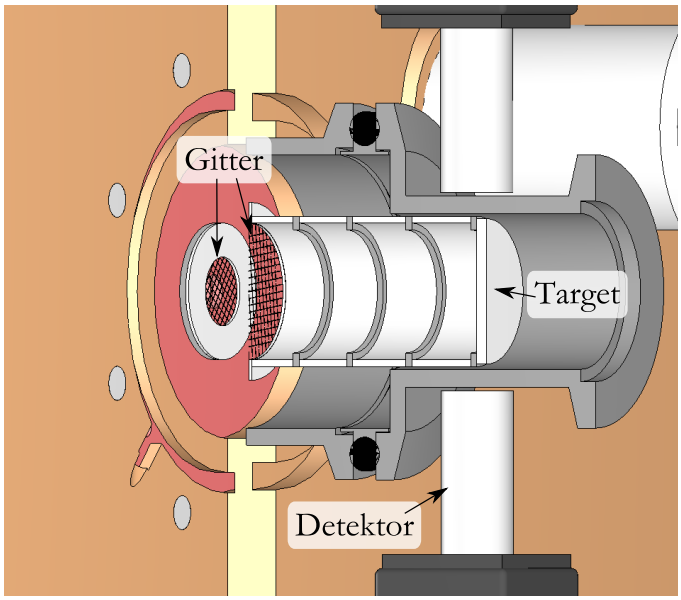

Abbildung 5.8.: Schnittdarstellung des Analysators

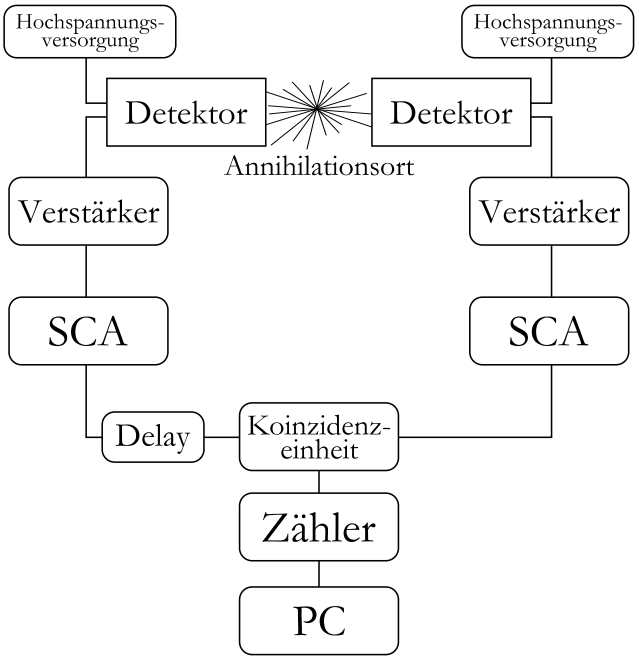

Abbildung 5.9.: Blockschaltbild der Elektronik zum Nachweis der Annihilationsstrahlung

computergesteuert variiert werden kann. Positronen, deren Energie hoch genug ist, um das Bremsgitter zu passieren, werden durch vier Potentialringe hindurch auf ein ca. 40 mm dahinter liegendes Annihilationstarget beschleunigt (siehe Abbildung 5.8). Die zwei bei der Annihilation emittierten charakteristischen 511 keV γ-Quanten werden durch zwei BGO-Szintillatoren in Koinzidenz nachgewiesen (siehe Abbildung 5.9). Daran angeschlossene Photomultiplier wandeln das im Szintillator entstandene Licht in einen Spannungsimpuls um. Dieser wird verstärkt und an einen Single Channel Analyzer (SCA) weitergeleitet. Der SCA liefert an seinem Ausgang ein logisches Signal, wenn am Eingang ein Spannungssignal vorliegt, das innerhalb eines einstellbaren (Spannungs-)Fensters liegt. Auf diese Weise kann eine bestimmte Energie selektiert werden (hier: 511 keV). Das logische Signal beider SCAs liefert in einer Koinzidenzeinheit ein logisches Signal, wenn beide eingehenden Signale zur gleichen Zeit anliegen. Durch einen Zähler können die nachgewiesenen Ereignisse wiederum von einem PC registriert werden. Nimmt man nun die Zählrate als Funktion der Bremsspannung am Gitter auf, so misst man integral das Energiespektrum. Leitet man dieses nach der Spannung ab, so erhält man das sog. Bremsspektrum.

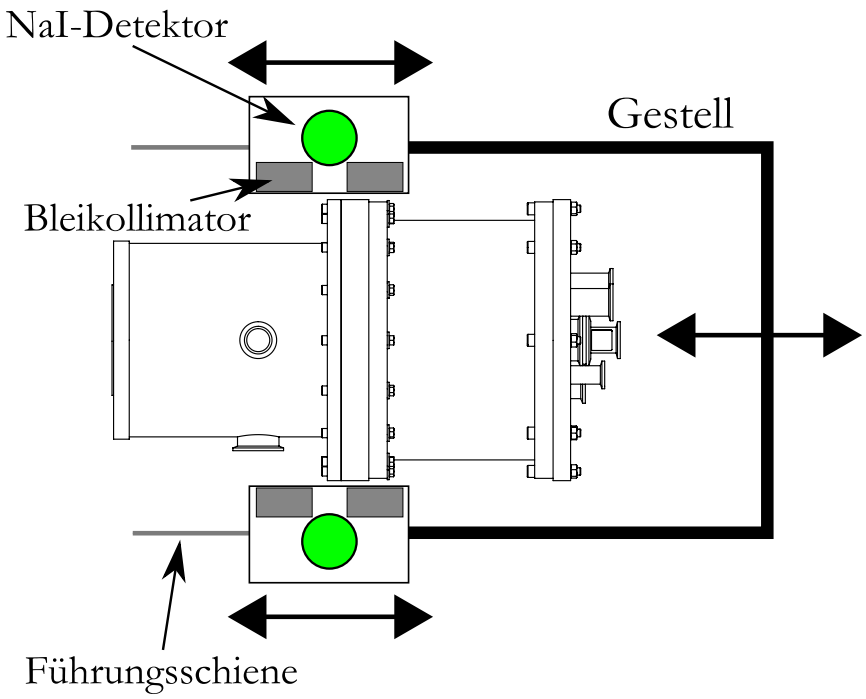

Abbildung 5.10.: Schema des Linearscanners, Ansicht von oben auf den Moderatoraufbau

5.3.2. Ortsaufgelöste Detektion der annihilierenden Positronen

Zur Optimierung der Parameter wie Druck, Spulenströme und der Potentiale ist es essentiell zu wissen, an welcher Stelle im Aufbau die Positronen annihilieren. Dazu wurden an den Seiten des Moderators zwei in Strahlrichtung verfahrbare NaI-Detektoren installiert (siehe Abbildung 5.10). Durch Bleiziegel vor den Detektoren lässt sich ein Spalt einstellen, der die Ortsauflösung dieses Linear-Scanners bestimmt. Zu beachten ist allerdings, dass ein zu kleiner Spalt die Zählrate verringert und eine dementsprechend längere Messzeit erfordert. Auch hier werden die Annihilationsquanten in Koinzidenz nachgewiesen, um sicherzustellen, dass nur Ereignisse auf der Verbindungslinie zwischen beiden Detektoren nachgewiesen werden. Über ein LabVIEW-Programm (siehe Abschnitt A.4) lässt sich ein in die Scanvorrichtung eingebauter Schrittmotor steuern, der beide Detektoren parallel verschieben kann. Somit lässt sich die Zählrate ortsabhängig darstellen.

6. Messungen und Ergebnisse

Zur Durchführung der Messungen stand der von einem Wolframkristall bereits remoderierte Strahl der Positronenquelle NEPOMUC am FRM II zur Verfügung. Die Spannung am Wolframkristall betrug 90,9 V. Zusammen mit der Austrittsarbeit von -3,0 eV [HSS02] ergibt sich somit eine Strahlenergie von 93,9 eV. Als Moderatorgas wurde Stickstoff verwendet.

6.1. Bestimmung der ortsabhängigen γ-Absorption im Moderatoraufbau

Um qualitative Aussagen über die ortsaufgelöste Annihilation der Positronen im Moderator treffen zu können, ist es nötig, das Absorptionsverhalten des Aufbaus für 551 keV-Gammaquanten zu kennen. Über

$$I(d) = I_0 \cdot e^{-\mu d} \tag{6.1}$$

bzw.

$$\frac{I(d)}{I_0} = e^{-\mu d} \tag{6.2}$$

lässt sich mit $\mu = \mu_{Al} \approx 0,227\,\mathrm{cm}^{-1}$ die Intensität I der transmittierten 511 keV-γ-Quanten in Abhängigkeit der durchquerten Wandstärke von Aluminium d bestimmen.

Aufgrund der durch verschiedene Kupferspulen und anderen Aufbauten komplexen Geometrie, wurde das Absorptionsverhalten mit Hilfe des Linearscanners (siehe Abschnitt 5.3.2) gemessen.

Für den Referenzscan wurde eine punktförmige Na^{22}-Quelle auf der Mittelachse des Moderators zwischen beiden Detektoren platziert und gemeinsam mit diesen verfahren. Abbildung 6.1 zeigt die ortsabhängige Koinzidenzzählrate beim Scannen durch den Moderator. Folgende qualitativen Beobachtungen können gemacht werden:

- Die beiden Einbrüche zwischen 60 und 155 mm lassen sich durch einen dort angebrachten Flansch erklären.
- Der Abfall der Zählrate ab 162 mm liegt nicht nur am dort beginnenden Flansch, sondern auch an der über diesen geschobenen Führungsspule (nicht eingezeichnet).

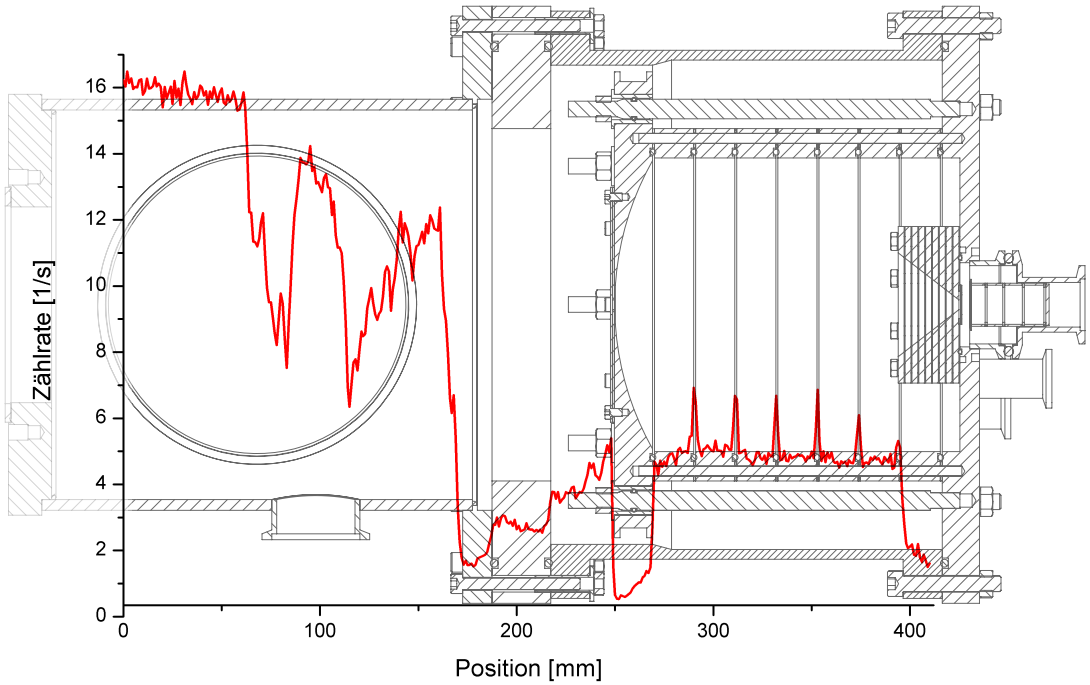

Abbildung 6.1.: Referenzscan mit einer punktförmigen Na^{22}-Quelle durch den Moderator. Aufgetragen ist die Zählrate als Funktion des Ortes, bei ca. 240 s pro Messpunkt. Die Spaltbreite betrug 5 mm und der Abstand zwischen zwei Messpunkten 1 mm. Mit Hilfe der sechs Peaks im hinteren Bereich konnte die maßstäbliche CAD-Zeichnung exakt über den Plot gelegt werden.

- Der Anstieg der Zählrate, bei gleichzeitiger Zunahme der Wandstärke, bei etwa 190 mm liegt daran, dass der Flansch, der Pumprohr und Moderatorzelle miteinander verbindet, aus PVC besteht.

- Deutlich zu sehen ist der starke Einbruch der Zählrate bei 248 mm, der von der bis zu 109 mm dicken Frontplatte am Eingang der Gaszelle verursacht wird.

- Erkennbar sind auch sechs Peaks in regelmäßigen Abständen zwischen 290 und 394 mm. Dies sind die Spalte zwischen den Potentialringen.

Gleichung 6.2 kann als Wahrscheinlichkeit betrachtet werden, dass ein γ-Quant durch das Material der Dicke d transmittiert wird. Misst man in Koinzidenz quadriert sich diese Wahrscheinlichkeit, da beide Gammas das Material passieren müssen[1].

[1]Das gilt natürlich nur bei symmetrischem Aufbau. Das heißt, dass beide γ-Quanten das selbe Material mit gleicher Dicke passieren müssen.

Somit gilt für die Koinzidenzwahrscheinlichkeit $P_{Koi}(d)$ mit den Koinzidenzzählraten $J(d)$ und J_0:[2]

$$P_{Koi}(d) = \frac{J(d)}{J_0} = \left(e^{-\mu \cdot d}\right)^2 = e^{-2\mu \cdot d} \tag{6.3}$$

Daraus folgt, mit d als Funktion des Ortes $d(x)$:

$$\frac{J(d(x))}{J_0} = e^{-2\mu \cdot d(x)} = \alpha(x) \tag{6.4}$$

6.2. Bestimmung der Einkopplungseffizienz

Aufgrund des differentiellen Pumpens wurde eine Eingangsöffnung von 3 mm gewählt. Da der Durchmesser des Strahl jedoch etwa 5 mm beträgt, verliert man bereits Positronen die an der Frontplatte annihilieren. Um diesen Verlust zu bestimmen wurde der Positronenstrahl zunächst ohne Moderatorgas[3] in den Moderator eingefädelt, d. h. die Korrekturfelder an der Beamline wurden auf eine möglichst hohe Zählrate am Target am Ausgang des Moderator optimiert. Danach wurde mit den beiden NaI-Detektoren der Scanvorrichtung die Zählrate der am Eingang annihilierenden Positronen bestimmt. Schließlich wurde der Strahl mit Hilfe der Korrekturfelder gegen die Frontplatte gelenkt, so dass sämtliche Positronen dort annihilierten und wiederum die Zählrate gemessen. Aus dem Verhältnis der beiden ermittelten Zählraten konnte der Anteil der in die Gaszelle eingekoppelten Positronen zu 50±4,5 % bestimmt werden.

6.3. Spektrum des einfallenden Strahls

Zunächst wurde das Spektrum des NEPOMUC-Strahls ohne Gas in der Moderatorzelle vermessen, um die Funktionsweise des Energieanalysators zu testen. Dafür wurde die Spannung am Bremsgitter in ca. 3 V Schritten von 1-114 V durchgefahren und jeweils 20 Zählraten aufgenommen. Abbildung 6.2 zeigt die Zählrate als Funktion der Bremsspannung und Abbildung 6.3 das davon abgeleitete Energiespektrum. Die Tatsache, dass die Zählrate bereits bei etwa 80 eV beginnt einzubrechen, lässt sich damit erklären, dass ein Teil der Positronen nicht senkrecht auf das Bremsgitter auftrifft. Das bedeutet, dass diese Positronen einen Transversalimpuls besitzen und somit gyrieren.

[2] Normalerweise müsste man zum Berechnen einer Zählrate aus einer Intensität noch Raumwinkel und Nachweiswahrscheinlichkeit im Detektor mit einberechnen. Diese kürzen sich jedoch hier heraus.

[3] d. h. bei einem Druck von unter $5 \cdot 10^{-4}$ mbar

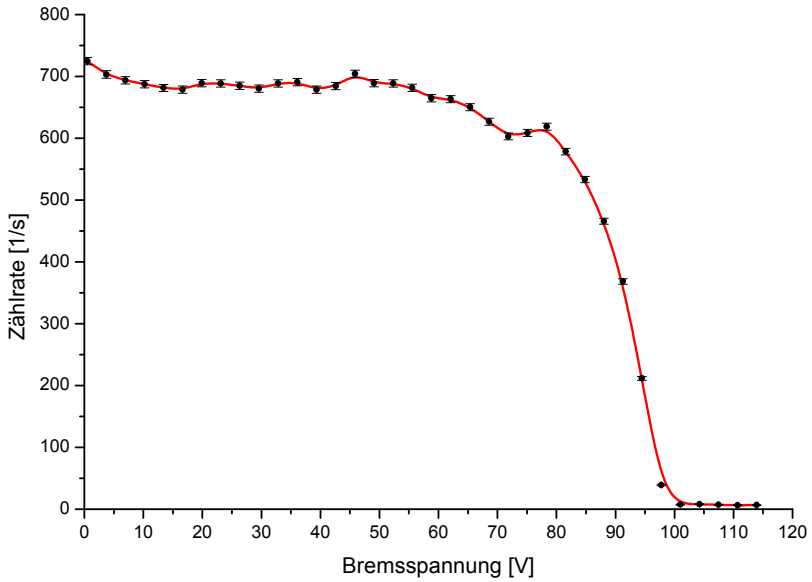

Abbildung 6.2.: Zählrate am Target als Funktion der Spannung

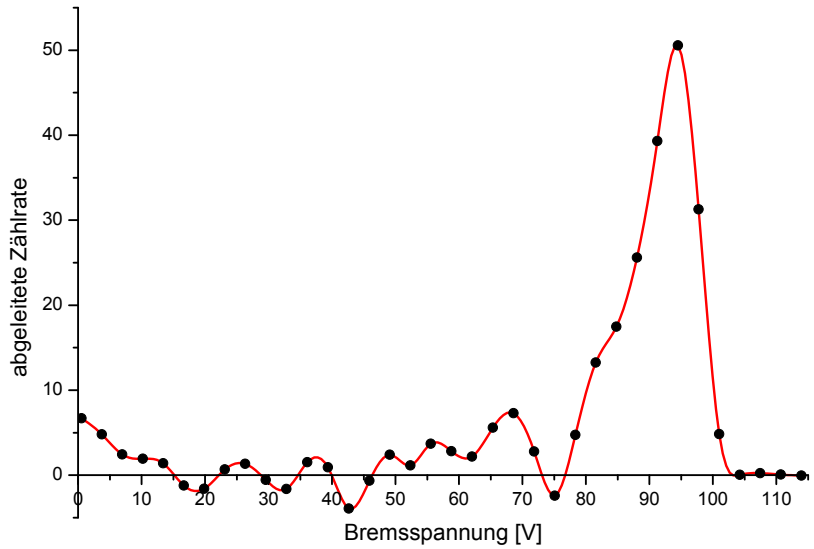

Abbildung 6.3.: Bremsspektrum des 93,9 eV NEPOMUC-Strahls (Ableitung der Zählrate aus Abbildung 6.2)

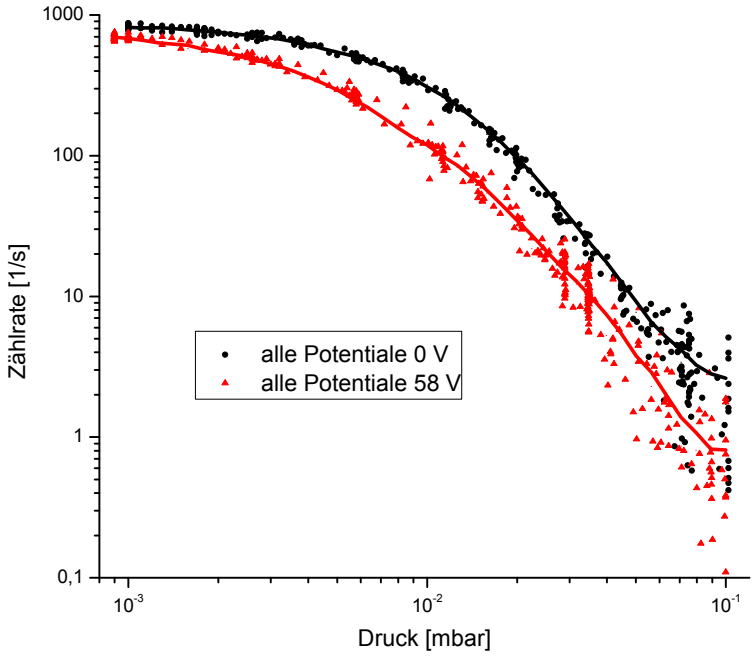

Abbildung 6.4.: Zählrate am Target in Abhängigkeit des Drucks in der Gaszelle

6.4. Aufnahme der Zählrate in Abhängigkeit des Drucks

Mithilfe des Nadelventils wurde nun Stickstoff in die Moderatorzelle eingelassen. Dabei wurde der Druck und gleichzeitig die Koinzidenzzählrate am Target mit dem Computer mitgeschrieben (siehe Abbildung 6.4). Dies wurde zunächst bei auf Masse gesetzten Potentialen durchgeführt. Danach wurden alle Potentiale auf 58 V eingestellt, so dass die Positronen am Eingang um 58 eV abgebremst wurden, und die Messung wiederholt. Man erkennt, dass im Fall der auf 58 V gesetzten Potentiale die Zählrate, gegenüber dem Fall ohne Spannung an den Potentialringen, schneller einbricht. Das ist qualitativ verständlich, da die Positronen bei angelegtem Potential mit nur noch etwa 36 eV in die Gaszelle gelangen und dadurch mit durchschnittlich weniger Stößen in den Energiebereich der verstärkten Positroniumsbildung („Ore Gap“) herunter streuen können.

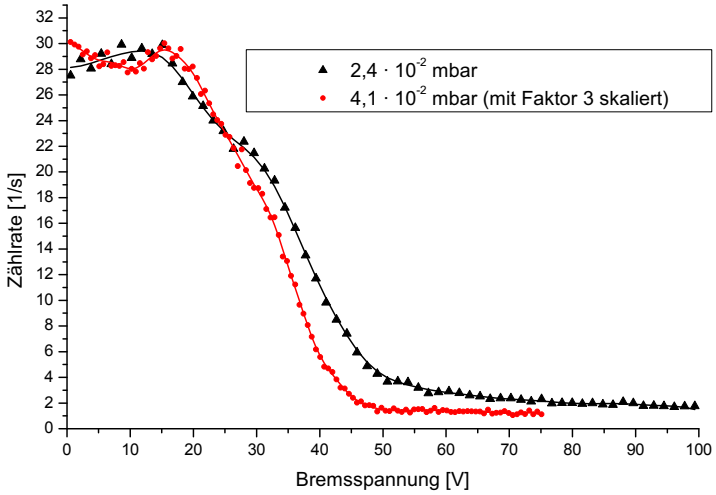

Abbildung 6.5.: Integrale Spektren des Strahls bei zwei verschiedenen Drücken und einem Potentialverlauf von 48 Volt am Eingang bis 20 Volt am Ausgang und somit einem Driftpotential von 28 Volt.

6.5. Spektrum des moderierten Strahls bei verschiedenen Drücken

Nun wurden verschiedene elektrische Felder, entsprechend der unter 5.2.2 durchgeführten Simulationen, in der Gaszelle eingestellt und das Spektrum der moderierten Positronen mit Hilfe des Bremsgitters am Ausgang aufgenommen. Trotz unterschiedlicher Spannungen an den Potentialringen und -scheiben wurde stets ein auf den Ausgang fokussierendes elektrisches Feld erreicht. Somit kann man über die Spannung am Eingang des Moderators die Eingangsenergie der Positronen festlegen. Hiervon und von der Spannungsdifferenz über den Moderator hängt schließlich die Spannung am Ausgangsgitter und damit die Austrittsenergie der vollständig moderierten Positronen ab. Man erwartet also, dass die Zählrate beim Durchfahren der Spannung am Bremsgitter oberhalb der Ausgangsspannung abnimmt. Je stärker die Zählrate dabei einbricht, desto größer ist der Anteil thermalisierter Positronen.

Abbildung 6.5 zeigt die Zählrate als Abhängigkeit der Bremsspannung bei einem Potentialverlauf von 48 Volt (am Eingang des Moderators) bis 20 Volt (am Ausgang) bei zwei verschiedenen Drücken. Man erkennt, dass die Zählrate in beiden Fällen über einen weiten Bereich von etwa 30 V abfällt.

Um zu untersuchen ob diese Energieverschmierung von der Spannungsdifferenz über die Moderatorzelle verursacht wird, wurde in den folgenden Messungen diese Differenz sukzessive halbiert. In den Messungen in Abbildung 6.6 wurde die Spannung

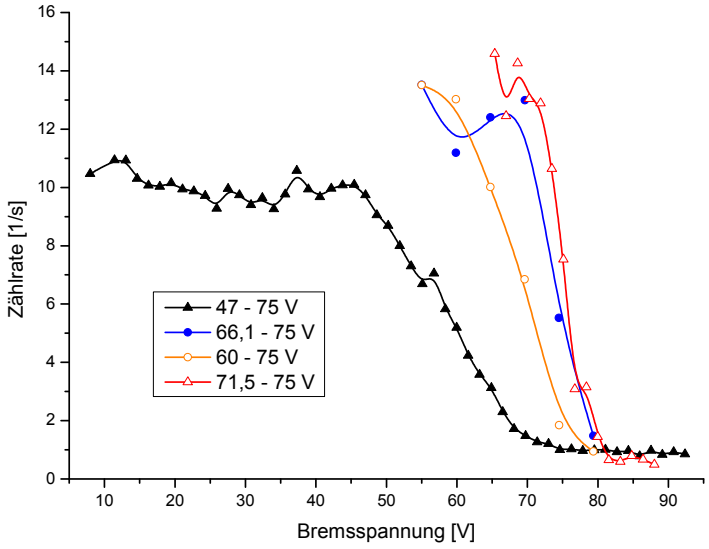

Abbildung 6.6.: Integrale Spektren bei einem Druck von $4,2 \cdot 10^{-2}$ mbar und vier verschiedenen Potentialeinstellungen

am Eingang der Zelle konstant auf 75 Volt gehalten, während die Spannung am Ausgang (und somit auch die Spannungen im inneren der Zelle) von Messung zu Messung erhöht wurde. Von 47 Volt am Ausgang bei der ersten Messung wurde die Spannung schließlich auf 71,5 Volt erhöht und damit eine Spannungsdifferenz von nur noch 3,5 Volt erreicht. Wie man sieht, konnte diese Optimierung des elektrischen Driftfelds die Energieverschmierung der Positronen stark reduzieren.

Schließlich wurden die Spannungen am Moderator um 27 Volt abgesenkt, so dass das Potential am Eingang 48 Volt und am Ausgang 44,5 Volt betrug und somit die Driftspannung von 3,5 Volt konstant blieb (siehe Abbildung 6.9). Die vorherigen Messungen wurden nun mit besserer Statistik und bei drei verschiedenen Drücken wiederholt (siehe Abbildung 6.7). Aus den daraus abgeleiteten Spektren in Abbildung 6.8 erkennt man bei allen drei Drücken einen Peak bei ca. 48-48,5 Volt. Da die Spannung am Austrittsgitter auf 44,5 Volt lag, betrug die kinetische Energie der Positronen in diesem Peak somit 3,5-4 eV bei einer Halbwertsbreite von etwa 4,5 eV. Unterschiede zeigten sich jedoch in den Bereichen höherer Energie. Während bei $2,3 \cdot 10^{-2}$ und $4,2 \cdot 10^{-2}$ mbar das Spektrum im Bereich zwischen 52 und 60 Volt schnell gegen Null ging, zeigte das Spektrum bei $1,5 \cdot 10^{-2}$ mbar deutlich, dass auch nicht vollständig moderierte Positronen das Target erreichten. Dies erkennt man an den beiden Peaks bei 60,5 und 69,5 Volt, deren Abstand von 9 Volt genau der Energie einer Anregung des Stickstoffs entspricht. Und auch bei etwa 52 Volt kann man einen weiteren Peak ausmachen, der als Verbreiterung des Hauptpeaks (der

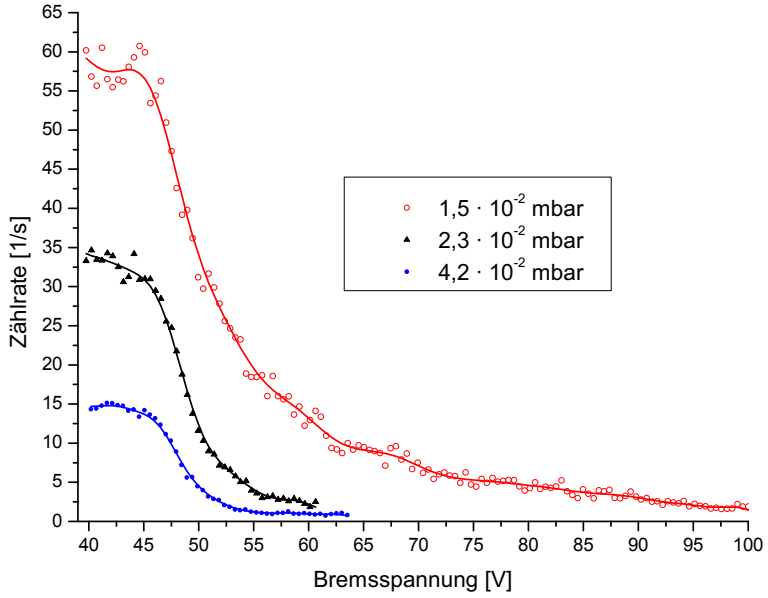

Abbildung 6.7.: Integrale Spektren bei drei verschiedenen Drücken in der Moderatorzelle. Die Spannung betrug 48 Volt am Eingang und 44,5 Volt am Ausgang.

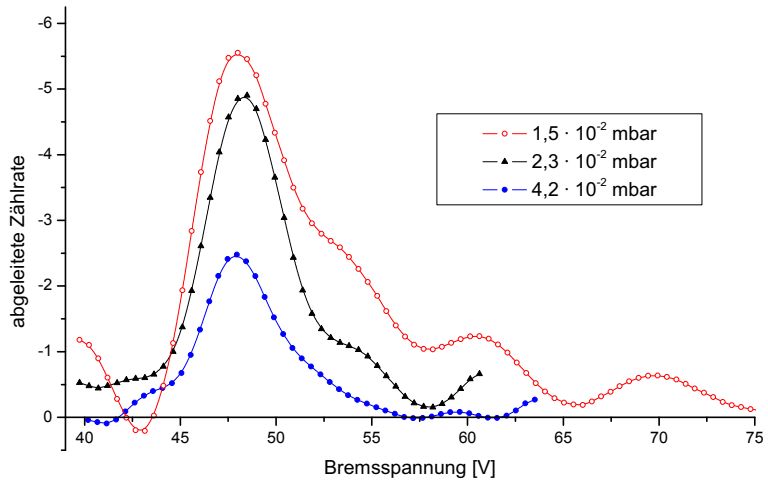

Abbildung 6.8.: Spektren des moderierten Strahls (Ableitung von Abbildung 6.7). Die Spannung am Ausgang der Gaszelle betrug 44,5 Volt

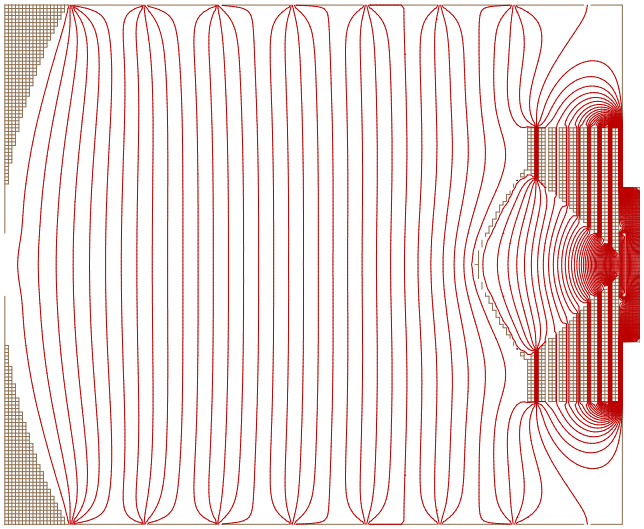

Abbildung 6.9.: Elektrisches Feld in der Gaszelle. Die Spannung am Eingang (links) betrug 48 V; am Ausgang 44,5 V.

vollständig moderierten Positronen) in Erscheinung tritt.

6.6. Berechnung der Moderationseffizienzen

Im Folgenden soll nun die Effizienz des Moderators bei diesen drei Drücken berechnet werden. Dabei unterscheidet man einerseits zwischen der reinen Moderationseffizienz, die nur das Verhältnis der Anzahl an moderierten Positronen zur Anzahl der in den Moderator eingekoppelten Positronen darstellt. Die Anzahl der in den Moderator eingekoppelten Positronen erhält man direkt aus der Zählrate am Target, ohne dass Gas in die Zelle eingelassen wurde. Andererseits muss beachtet werden, dass durch die nur 3 mm große Öffnung am Eingang des Moderators nicht alle Positronen des ankommenden Strahls in die Moderatorzelle eingekoppelt werden können. Somit muss in die Gesamteffizienz des Systems noch die unter Abschnitt 6.2 bestimmte Einkopplungseffizienz mit einberechnet werden. Die Anzahl der moderierten Positronen erhält man durch die Bestimmung des Abfalls der Zählrate im integralen Spektrum (Abbildung 6.7) zwischen 44,5 und 55 Volt – was in etwa der Breite des Peaks im Spektrum entspricht. Tabelle 6.1 zeigt die berechneten Effizienzen bei den drei verschiedenen Drücken sowie die dafür benötigten Zählraten.

Tabelle 6.1.: Moderationseffizienzen bei verschiedenen Drücken

Druck [mbar]	$1,5 \cdot 10^{-2}$	$2,3 \cdot 10^{-2}$	$4,2 \cdot 10^{-2}$
Eingekoppelte e^+/s		702	
Ausgekoppelte e^+/s	60,7	34,0	15,1
Moderierte e^+/s	41,2	30,0	13,9
Anteil am ausgekoppelten Strahl	68 %	88 %	92 %
Effizienz des Moderators	**5,9 %**	**4,3 %**	**2,0 %**
Einkopplungseffizienz		50 %	
Gesamteffizienz des Aufbaus	**2,9 %**	**2,1 %**	**1,0 %**

6.7. Untersuchung der Positronenverluste im Moderator

Um die Verluste an Positronen im Moderator zu untersuchen, wurde mit Hilfe der 1D-Scanapparatur die Annihilationsstrahlung ortsabhängig detektiert (siehe Abbildung 6.10). Diese Messung wurde zunächst ohne Stickstoff und darauf bei den Drücken $2,3 \cdot 10^{-2}$ mbar und $4,1 \cdot 10^{-2}$ mbar mit Stickstoff durchgeführt. Zunächst fällt auf, dass der Peak am Eingang der Moderatorzelle bei $2,3 \cdot 10^{-2}$ mbar und ohne Gas die selbe Höhe hat[4]. Und selbst der Peak bei $4,1 \cdot 10^{-2}$ mbar liegt gerade einmal um 9 % niedriger als der Peak ohne Gas. Dies bedeutet, dass die Einkopplungseffizienz praktisch druckunabhängig ist.

Bemerkenswerter Weise liegen alle Messwerte (links des Peaks am Eingang) des Scans bei $4,1 \cdot 10^{-2}$ mbar um etwa 9 % niedriger als die des vorherigen Scans bei $2,3 \cdot 10^{-2}$ mbar. Da man einen systematischen Fehler bei dieser Messung praktisch ausschließen kann, ergibt sich folgende mögliche Erklärung: Durch den bei diesem Scan auch im Pumpflansch höheren Druck ($1,2 \cdot 10^{-4}$ mbar) streut und annihiliert ein Teil der Positronen schon weit vor dem Moderator. Der auf der linken Seite zwischen etwa 180 und 250 mm verbreiterte Peak lässt sich durch Rückstreuung der Positronen von der Eingangsblende und anschließender Annihilation an der Gehäusewand erklären.

Rechts des Peaks (ab 272 mm) stellt man jedoch eine bei Stickstoff bis zu doppelt so hohe Zählrate fest wie ohne Gas. Dies wird verursacht durch die in Abschnitt 4.1.1 erläuterte Positroniumsbildung.

Ein sehr großer Teil der Positronen zerstrahlt am gewölbten Gitter, das am Eingang des Trichters angebracht ist (etwa bei 390 mm). Während der Scan ohne Gas (nach Einberechnung der Absorption) zeigt, dass in etwa die selbe Anzahl an Positronen am Target annihiliert wie am gewölbten Gitter, sieht man, dass bei einem Druck von $2,3 \cdot 10^{-2}$ mbar beinahe zehn mal mehr Positronen am Gitter

[4] Die Abweichung beträgt ca. 1 % und liegt somit innerhalb des Messfehlers.

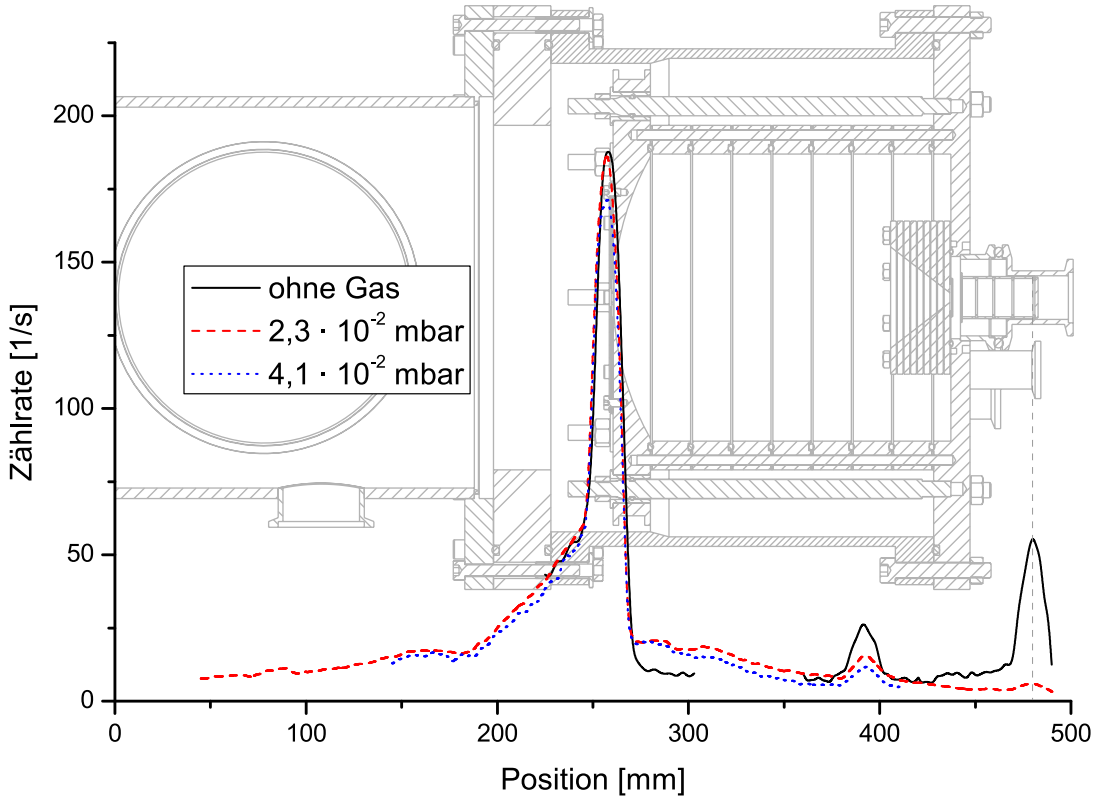

Abbildung 6.10.: Ortsaufgelöster Scan der Annihilationsstrahlung

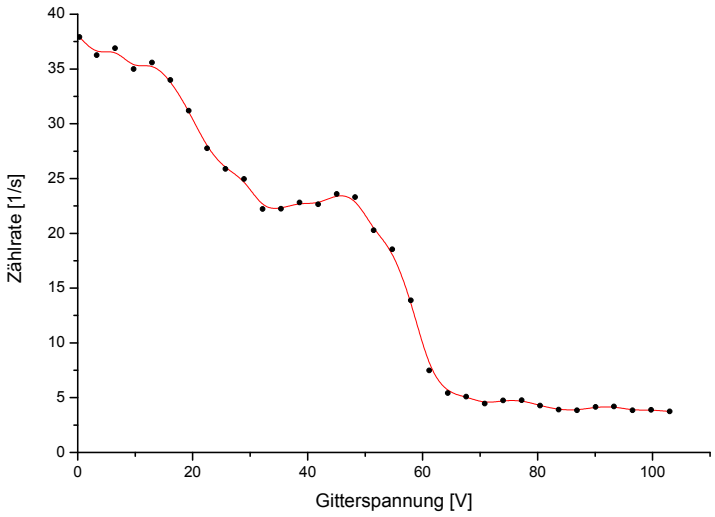

Abbildung 6.11.: Integrales Spektrum, gemessen auf Höhe des gewölbten Gitters in der Moderatorzelle am Eingang des Trichters

annihilieren als am Target. Leider ist es aufgrund der großen Wandstärken im Inneren des Trichters und am Ausgang des Moderators nicht möglich zu untersuchen, wie groß der Anteil der Positronen ist, die in diesem Bereich verloren gehen. Es ist jedoch möglich abzuschätzen, wie hoch der Anteil an zerstrahlenden Positronen am Gitter ist. Dazu wird die Scanvorrichtung an die Position des Gitters gefahren und durch Variation der Spannung am Gitter ein Spektrum aufgenommen. Abbildung 6.11 zeigt ein solches integrales Spektrum bei einem Spannungsverlauf von 58 Volt (am Eingang des Moderators) bis 10 Volt (am Ausgang) und einem Druck von $4,5 \cdot 10^{-2}$ mbar. Deutlich erkennt man drei Stufen: Die hohen Zählraten am Gitter bei niedrigen Spannungen (≤ 10 Volt) kommen Zustande, da das Gitter von beiden Seiten ein attraktives Potential für die Positronen bildet. So annihilieren selbst solche Positronen am Gitter die es bereits passiert haben. Im mittleren Spannungsbereich (30–50 Volt) wird ein Teil der Positronen durch das Gitter transmittiert, während ab 58 Volt beinahe alle Positronen reflektiert werden.

Die Messung wurde nun bei dem in Abschnitt 6.5 festgestellten optimalen Spannungsverlauf (44,5–48 Volt) wiederholt. Abbildung 6.12 zeigt wieder das integrale Spektrum, aufgenommen am Gitter. Bei der am Gitter normalerweise eingestellten Spannung von 46,7 Volt (wie bei den Messungen im vorherigen Abschnitt) erhält man eine Zählrate von $15{,}6\,\mathrm{s}^{-1}$.[5] Für niedrigere Spannungen am Gitter steigt die Zählrate bis auf $29\,\mathrm{s}^{-1}$ an, möglicherweise sogar noch weiter da die niedrigste gemes-

[5] Dieser Wert wurde aufgrund besserer Statistik aus Abbildung 6.10 entnommen.

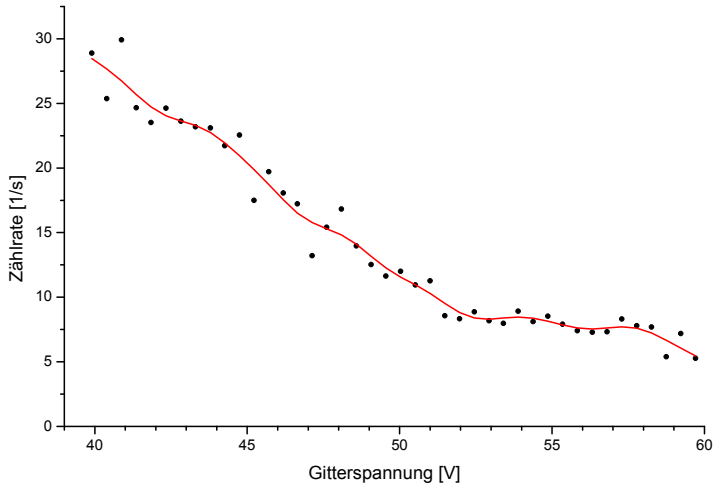

Abbildung 6.12.: Integrales Spektrum, gemessen am gewölbten Gitter am Eingang des Trichters

sene Spannung bereits 39,9 Volt betrug. Somit kann man feststellen, dass mindestens 46 % der am Gitter ankommenden Positronen selbiges passieren können und somit zu einem großen Teil im Trichter oder am Ausgang zerstrahlen müssen, ohne das Target zu erreichen.

6.8. Diskussion der Messergebnisse und Ausblick

Mit den hier vorgestellten Messungen konnte gezeigt werden, dass eine kontinuierliche Moderation eines Positronenstrahls in Stickstoff möglich ist. Die Messung bei einem Druck von $2,3 \cdot 10^{-2}$ mbar stellte dabei einen guten Kompromiss aus Energieschärfe (inklusive apparativer Auflösung etwa 5 eV Halbwertsbreite) und Moderationseffizienz (ca. 4 % ohne Einkopplungsverluste) dar. Bei niedrigeren Drücken war ein deutlich nachweisbarer Anteil an nicht vollständig moderierten Positronen vorhanden, während die Moderationseffizienz bei höheren Drücken deutlich niedriger war.

Es zeigte sich, dass die Spannungsdifferenz über die Moderatorzelle den entscheidenden Einfluss auf die Energieschärfe der moderierten Positronen hatte. Offensichtlich bewirkte eine größere Spannungsdifferenz ein nachträgliches Beschleunigen der bereits moderierten Positronen. Eine genaue Erklärung dieses Effekts bedarf jedoch weiterer Untersuchungen. Eine weitere Verringerung der Spannungsdifferenz sollte eine Verbesserung der Energieschärfe ermöglichen.

Durch den ortsaufgelösten Scan des Moderators konnten die Verluste innerhalb

des Aufbaus lokalisiert werden. Der Bereich zwischen den konusförmig zulaufenden Potentialscheiben und dem Ausgang des Moderators konnte jedoch auf Grund der großen Wandstärken nur unzureichend analysiert werden. Es ist jedoch sehr wahrscheinlich, dass dort ein Großteil der Positronen annihiliert. Für weitere Untersuchungen sollten große Wandstärken in Bereichen vermieden werden, welche für die Verlustidentifikation von Interesse sind.

Für spätere Arbeiten ist geplant, durch differentielles Pumpen am Ausgang, den Strahl aus dem Moderator zu extrahieren und in einem Strahlrohr weiter zu führen.

7. Zusammenfassung

Im Rahmen dieser Diplomarbeit wurde das Konzept eines Moderators für Positronen untersucht, welches auf der Abbremsung und dem Drift von Positronen in gasförmigem Stickstoff beruht. Dazu wurde ein Versuchsaufbau konstruiert, aufgebaut und in Betrieb genommen. Ein Positronenstrahl wird durch eine kleine Blende in eine Gaszelle eingekoppelt, dort durch Stöße mit den Gasmolekülen abgebremst, durch ein elektrisches Feld auf den Ausgang fokussiert und dahinter analysiert. Durch ausführliche Simulationen mit dem Programm SIMION 3D konnte das elektrische Feld im Inneren der Gaszelle optimiert werden. Zur Untersuchung der Energie der moderierten Positronen wurde ein Bremsspannungsanalysator angefertigt und am Ausgang der Zelle installiert. Die Lokalisierung der im Versuchsaufbau zerstrahlenden Positronen wurde durch zwei in Koinzidenz geschaltete Gammadetektoren ermöglicht, welche gegenüber liegend längs des Moderators auf Schienen verfahrbar waren.

Die Software zur Steuerung des Positronenanalysators, der Potentiale im Inneren der Zelle und des Linearscanners sowie diverse Programme zum Aufnehmen der Messdaten (beispielsweise Druck und Zählrate) wurde eigens in der Entwicklungsumgebung LabVIEW erstellt. Dabei wurde Wert auf einen modularen Aufbau der Programme gelegt, damit auch eine spätere Verwendung der Unterprogramme, wie beispielsweise der Druckauslese, für andere Zwecke leicht möglich ist.

Messungen am Gasmoderator konnten an der Positronenquelle NEPOMUC am FRM II während zweier Messzyklen zu jeweils 10 Tagen durchgeführt werden. Dabei wurde der Positronenstrahl in den Moderator eingekoppelt und die Energie der am Target annihilierten Positronen analysiert. Dies wurde bei unterschiedlichen Drücken in der Moderatorzelle und verschiedenen elektrischen Potentialen über den Moderator wiederholt. Mit Hilfe der Scannapparatur wurden die Positronenverluste im Aufbau lokalisiert.

In dem Experiment konnte die Moderation eines Positronenstrahls in Stickstoff nachgewiesen werden. Es wurde eine Ausbeute an moderierten Positronen am Ausgang der Zelle – abhängig vom Stickstoffdruck – von bis zu 6 % beobachtet. Dieser Wert liegt noch unter dem theoretischen Wert von 26 %, wie er im Rahmen der vorliegenden Arbeit durch eine Monte-Carlo-Simulation ermittelt worden ist. Ortsaufgelöste Scans der Annihilationsstrahlung mittels der koinzidenten Gammadetektoren deuten darauf hin, dass ein Großteil der Positronen im Bereich des Fokus verloren geht. Eine genauere Untersuchung bedarf einer umfangreichen Änderung des Versuchsaufbaus und soll zukünftig in Verbindung mit der Extraktion des mo-

derierten Strahls aus dem Gas in ein Strahlrohr durchgeführt werden. Auch die Abhängigkeit der Energieschärfe der moderierten Positronen von der am Moderator angelegten Driftspannung sollte im Zuge der Weiterentwicklung dieser Methode untersucht werden.

A. Anhang

A.1. Aufbau

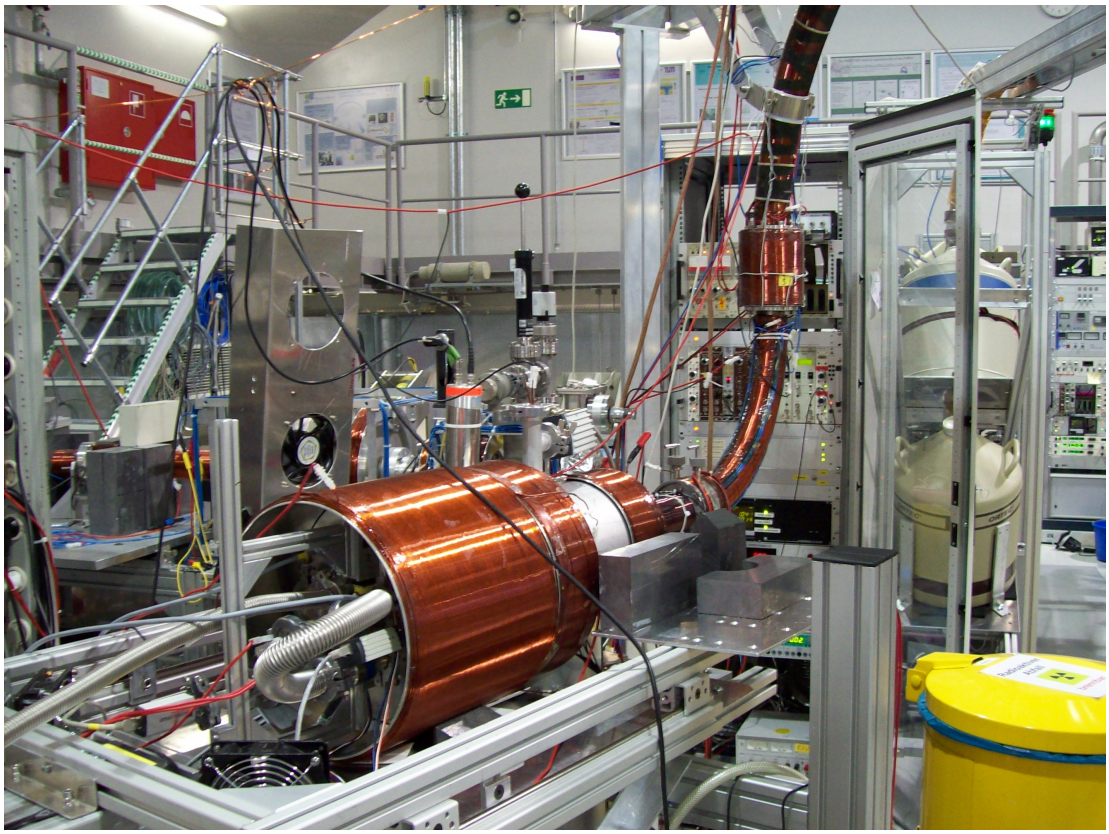

Abbildung A.1.: Übersichtsfoto des Moderatoraufbaus: Der Positronenstrahl wird von oben kommend in die waagrecht liegende Moderatorkammer, im Solenoid, eingekoppelt. Parallel zur Kammer läuft auf Schienen der Linearscanner zum ortsaufgelösten Nachweis der annihilierten Positronen.

A.2. Spulenströme

Spulenströme am Gasmoderator

Führungsfelder

Spule (Nr.)	Beschreibung	Stromstärke [A]
1	Eingang Pumprohr	10,0
2	Schwarzer Draht	0,0
3	Eingang Gasmoderator	8,1
4	Gasmoderator Innenraum	0,0
5	Große Spule	7,0

Spulenströme an der Beamline

Führungsfelder

Spule (Nr.)	Beschreibung	Stromstärke [A]
F21	Balg 300	8,4
F22		7,6
F23-25		8,6
F26-28		10,1
F29		10,1
F30	Weiche	5,5
F31		10,2
F32	Bogen über Weiche	10,11
F34	Gerades Stück oben	9,98
F35	Bogen oben am Open Beam Port	10,0
F36	Balg	11,5
F37	Bogen unten am Open Beam Port	9,0
	Beide Spulen am Nedflansch	10,2
	Zwischenstück vor Moderator	9,0

Korrekturfelder

Spule (Nr.)	Beschreibung	Stromstärke [A]
KP16V	Bogen unter Strahlweiche	-3,67
KP16H		3,57
KP18V	Bogen über Strahlweiche	0,8
KP18H		-2,7
KP19V	Bogen oben am Open Beam Port (Polarität unbekannt)	ca. 3,5 (schwankt)
KP19H		3,23
KP20V	Bogen unten am Open Beam Port (Polarität unbekannt)	0,52
KP20H		6,79

A.3. Messprotokoll

Auf den drei nächsten Seiten folgt eine Übersicht über die bei den Messungen gewonnenen Daten. Die Daten wurden in übliche ASCII-Dateien mit der Endung `.txt` gespeichert. Hier der Aufbau der unterschiedlichen Dateien:

Folgende Dateitypen sind mehrspaltig, Beschreibung der Spalten von links nach rechts:

Spektren: Spannung [V], Zählrate [1/s], Standardabweichung d. Zählrate

Scans: Position [mm], Zählrate [1/s], Standardabweichung d. Zählrate

Druckmessungen: Zeit (Kanal S1) [s], Druck (Kanal S1) [mbar], Zeit (Kanal S2) [s], Druck (Kanal S2) [mbar], Zeit (Kanal ITR) [s], Druck (Kanal ITR) [mbar]

Druck-gegen-Zählrate: Druck (Kanal S1) [mbar], Druck (Kanal S2) [mbar], Druck (Kanal ITR) [mbar], Zählrate [1/s]

Folgende Dateitypen sind einspaltig bzw. einzeilig:

Spannungswerte DA-AD: Zeile 1-20: 16bit-Wert des Digital-Analog-Wandlers (Ausgangsspannung 10 Volt)
Zeile 22-41: Sollspannungen am Ausgang des Spannungsteilers in Volt

Netzteileinstellungen: Stromstärken des 20-Kanal-Netzteils, strichpunktgetrennte Werte, Einheit: mA

	Verzeichnis	Dateiname	Anmerkung
	Druckmessungen neue Turbo	20070829 scrollpumpe + neue turbo.txt	
	Druckmessungen neue Turbo	20070829 scrollpumpe + neue turbo2.txt	
	Druckmessungen neue Turbo	20070829 scrollpumpe + wkp + neue turbo.txt	
	Druckmessungen neue Turbo	20070830 scrollpumpe + wkp + neue turbo - sonde auf 1.platte.txt	
Mo	Druckmessungen neue Turbo	20070910-0053 bis 20071112-1508.txt	
	Druckmessungen neue Turbo	20070910-0053.txt	
Di	Scan Einfädeln	20070911-1853 - 0-490-5mm 1 wert.txt	
Mi	Scan Einfädeln	20070912-1245 - 0-492-1mm 60 werte.txt	Strahl nur an Frontplatte
	Druckmessungen neue Turbo	20070912-1648 bis 20070913-1851.txt	
Do	Scan Einfädeln	20070913-1617 - 240-260-1mm 10 werte.txt	Strahl eingefädelt
	Scan Einfädeln	20070913-1630 - 430-490-1mm 10 werte.txt	Strahl eingefädelt
	Scan Einfädeln	20070913-1825 - 245-255-1mm 10 werte.txt	SCAs aufgemacht (?)
	Scan Einfädeln	20070913-1838 - 450-480-1mm 10 werte.txt	SCAs aufgemacht (?)
	Netzteileinstellungen	20070913-1849 Korrekturfelder 19+20.txt	
	Spektren ohne Gas	20070913-1937 - 1 wert.txt	0-101V, 3V
	Spektren ohne Gas	20070913-1945 - 5 werte.txt	1-114V, 3V
	Spektren ohne Gas	20070913-1950 - 10 werte - 30 volt zum target.txt	1-114V, 3V
	Spektren ohne Gas	20070913-2009 - 10 werte - 30 volt zum target - 30 volt zum anderen gitter.txt	1-114V, 3V
	Netzteileinstellungen	20070913-2027 Stromstärken Gasmoderator.ods	
	Spektren ohne Gas	20070913-2038 - 10 werte - 30 volt zum target - 30 volt zum anderen gitter.txt	80-105V, 1V
Fr	Scan Einfädeln	20070914-1234 - 0-490-1mm 60 werte.txt	
	Druckmessungen neue Turbo	20070914-1337 bis 1418.txt	
	Druck-gegen-Zählrate	20070914-1425.txt	
	Druck-gegen-Zählrate	20070914-1447 - alles auf 58 Volt.txt	
	Scans mit Gas	20070914-1514 - 0-490-5mm 5 werte - 0,1mbar - alles auf 58 Volt.txt	
	Scans mit Gas	20070914-1514 - 240-260-1mm 10 werte - 0,1mbar - alles auf 58 Volt.txt	
	Scans mit Gas	20070914-1524 - 244-254-1mm 10 werte - 0,1mbar - alles auf 58 Volt - auf frontplatte gelenkt.txt	→ Einfädeleffizienz
	Druckmessungen neue Turbo	20070914-1615 bis 2142.txt	
	Spektren mit Gas	20070914-1617 - 2,7E-2mbar - 10 werte - 30volt zum target.txt	0-107V, 3V
	Spektren mit Gas	20070914-1638 - 2,7E-2mbar - 10 werte - 64volt zum target - gitter davor auf 0V.txt	1-98V, 3V
	Spektren mit Gas	20070914-1713 - 2,7E-2mbar - 30 werte - 64volt zum target - gitter davor auf 0V - 30A spule 4.txt	1-72V, 3V
	Spektren ohne Gas	20070914-1730 - 20 werte - 32 volt zum target - 25V am anderen gitter - potentiale 20070914-2045.txt	1-104V, 3V
	Spektren ohne Gas	20070914-2020 - 20 werte - 5 volt zum target - 25V am anderen gitter - potentiale 20070914-2045.txt	1-104V, 3V
	Spannungswerte DA-AD	20070914-2045 - potentiale.txt	
	Spektren mit Gas	20070914-2055 - 4,3E-2mbar - 30 werte - 32volt zum target - potentiale 20070914-2045.txt	1-98V, 3V
	Netzteileinstellungen	20070914-2141 Korrekturfelder 19+20.txt	
	Scan Einfädeln	20070914-2236 0-490-5mm 10 werte - 20mm Spalt - potentiale 20070914-2045.txt	Spaltschwerpunkt verschoben
	Spektren mit Gas	20070914-2303 - 1,2E-2mbar - 5 werte - 32volt zum target - anderes gitter 0V - potentiale 20070914-2309.txt	0-97V, 3V
	Spannungswerte DA-AD	20070914-2309 - potentiale.txt	5-70V
	Druck-gegen-Zählrate	20070914-2313 NaI-Det - Position 0mm - Spalt 20mm.txt	
Sa	Scans mit Gas	20070915-1213 - 0-490-5mm 300 werte - 4,5E-2mbar - 20mm spalt - potentiale 20070914-2045.txt	
	Spannungswerte DA-AD	20070915-1358 - potentiale mit 16bit werten.txt	10-58V
	Spannungswerte DA-AD	20070915-1358 - potentiale.txt	10-58V
	Spektren mit Gas	20070915-1422 - 4,5E-2mbar - 60 werte - 20volt zum target - anderes gitter 8,5V - potentiale 20070915-1358.txt	5-39V, 1V
	Spektren mit Gas	20070915-1442 - 4,5E-2mbar - 60 werte - 20volt zum target - anderes gitter 8,5V - potentiale 20070915-1358.txt	22-39V, 1V, oben mit drin
	*Spektren mit Gas	20070915-1521 - 4,5E-2mbar - 10 werte - gitter am trichtereingang - potentiale 20070915-1358.txt	0-103V, 3V
	*Spektren mit Gas	20070915-1529 - 4,5E-2mbar - 60 werte - gitter am trichtereingang - potentiale 20070915-1358.txt	0-103V, 3V
	Druckmessungen neue Turbo	20070915-1555 bis 20070917-0955.txt	
	*Spektren mit Gas	20070915-1608 - 7E-2mbar - 2 werte - gitter am trichtereingang - potentiale 20070915-1358.txt	0-103V, 3V
	*Spektren mit Gas	20070915-1611 - 7E-2mbar - 60 werte - gitter am trichtereingang - potentiale 20070915-1358.txt	0-103V, 3V
	*Spektren ohne Gas	20070915-1701 - 15 werte - gitter am trichtereingang - 20 volt zum target - anderes gitter 8,5V- potentiale .txt	0-103V, 3V
	*Spektren mit Gas	20070915-1713 - 2,1E-2mbar - 15 werte - gitter am trichtereingang - potentiale 20070915-1358.txt	0-103V, 3V
	+Spektren mit Gas	20070915-1741 - 4,5E-2mbar - 15 werte - frontplatte - potentiale 20070915-1358.txt	1-103V, 3V
	+Spektren ohne Gas	20070915-1800 - 15 werte - frontplatte - potentiale 20070915-1358.txt	0-103V, 3V
	*Spektren mit Gas	20070915-1857 - 4,4E-2mbar - 15 werte - gitter am trichtereingang - potentiale 20070915-**2033**.txt	3-103V, 3V
	*Spektren ohne Gas	20070915-1912 - 15 werte - gitter am trichtereingang - 20 volt zum target - anderes gitter 8,5V - potentiale 20070915-**2033**.txt	0-103V, 3V
	Spannungswerte DA-AD	20070915-2033 - potentiale 88V am eingang.txt	40-88V
	Spannungswerte DA-AD	20070915-2034 - potentiale mit 16bit werten.txt	22,5-58V
	Spannungswerte DA-AD	20070915-2034 - potentiale.txt	22,5-58V

	Spektren mit Gas	20070915-2150 - 4,4E-2mbar - 300 werte - 5volt zum target - anderes gitter 21,5V - potentiale 20070915-2034.txt	1-104V, 1V
So	Spannungswerte DA-AD	20070916-2250 - potentiale 70-80V.txt	
	Spektren mit Gas	20070916-2255 - 3,8E-3mbar - 5 werte - 5volt zum target - anderes gitter 70V - potentiale 20070916-2250.txt	65-104V, 1V
	Spektren mit Gas	20070916-2304 - 1,1E-2mbar - 5 werte - 5volt zum target - anderes gitter 70V - potentiale 20070916-2250.txt	65-104V, 1V
	Spektren mit Gas	20070916-2310 - 1,1E-2mbar - 5 werte - 0volt zum target - anderes gitter 70V - potentiale 20070916-2250.txt	65-104V, 1V
	Spektren mit Gas	20070916-2317 - 1,1E-2mbar - 5 werte - 0volt zum target - anderes gitter 70V - potentiale 20070916-2250.txt	0-65V, 3V
	Spektren ohne Gas	20070916-2320 - 9E-4mbar - 5 werte - 0volt zum target - anderes gitter 70V - potentiale 20070916-2250.txt	1-104V, 3V
	Spektren ohne Gas	20070916-2327 - 9E-4mbar - 10 werte - 0volt zum target - anderes gitter 70V - potentiale 20070916-2250.txt	65-104V, 1V
	Spektren mit Gas	20070916-2351 - 2,5E-2mbar - 250 werte - 0volt zum target - anderes gitter 25V - potentiale **20070914-2045**.txt	1-104V, 1V
Mo	Druckmessungen neue Turbo	20070917-1859 bis 20070918-1805 Backup.txt	Umbau (Target + KF Klammern), große Spule
Di	#Spektren ohne Gas	20070918-1137 - 30 werte - **bremsen frontplatte - messen hinten** - 5volt zum target - anderes gitter 0V - potentiale alles0V.txt	1-97V, 1V
	Netzteileinstellungen	20070918-1649 Korrekturfelder 19+20.txt	
	Spektren ohne Gas	20070918-1651 - 10 werte - 0volt zum target - anderes gitter 0V - potentiale alle 0V.txt	1-104V, 3V
	Spannungswerte DA-AD	20070918-1732 - potentiale 32-58V.txt	
	Spektren mit Gas	20070918-1733 - 5,4E-2mbar - 10 werte - 5V zum target - anderes gitter 30V - potentiale 20070918-1732.txt	1-75V, 3V
	Druck-gegen-Zahlrate	20070918-1749 target.txt	
	Druck-gegen-Zahlrate	20070918-1803 target.txt	
	Druck-gegen-Zahlrate	20070918-1807 target.txt	
	Druck-gegen-Zahlrate	20070918-1817 target.txt	
	Druckmessungen neue Turbo	20070918-1856 bis 20070919-1409 Backup.txt	
	Spannungswerte DA-AD	20070918-1900 - potentiale 22-48V.txt	
	Spektren mit Gas	20070918-1904 - 4,1E-2mbar - 300 werte - 5V zum target - anderes gitter 20V - potentiale 20070918-1900.txt	1-75V, 0,5V
Mi	Spektren ohne Gas	20070919-1004 - 6 werte - 5V zum target - 20V anderes Gitter - Potentiale 20070918-1900.txt	1-104V, 1,5V
	Spektren mit Gas	20070919-1027 - 2,4E-2mbar - 150 werte - 5V zum target - anderes gitter 20V - potentiale 20070918-1900.txt	1-99V, 1,5V
	Spannungswerte DA-AD	20070919-1356 - potentiale 49-75V.txt	Spannung hochgesetzt
	Spektren ohne Gas	20070919-1357 - 6 werte - 5V zum target - 47V anderes Gitter - Potentiale 20070919-1356.txt	1-104V, 1,5V
	Druck-gegen-Zahlrate	20070919-1409 target - potentiale 20070919-1356.txt	
	Druckmessungen neue Turbo	20070919-142435 bis 20070920-1452.txt	
	Spektren mit Gas	20070919-1425 - 2,4E-2mbar - 75 werte - 5V zum target - anderes gitter 47V - potentiale 20070919-1356.txt	1-10V, 0,5V
	Spektren mit Gas	20070919-1448 - 2,4E-2mbar - 75 werte - 5V zum target - anderes gitter 47V - potentiale 20070919-1356.txt	10-104V, 1,5V zusammenfügen mit vorherigem
	Spektren mit Gas	20070919-1627 - 4,0E-2mbar - 75 werte - 5V zum target - anderes gitter 47V - potentiale 20070919-1356.txt	8-92V, 1,5V
	Spannungswerte DA-AD	20070919-1746 - potentiale 62-75V.txt	ΔU=13V (halbiert)
	Spannungswerte DA-AD	20070919-1807 - potentiale 62-75V.txt	
	Spektren mit Gas	20070919-1811 - 4,2E-2mbar - 10 werte - 5V zum target - anderes gitter 60V - potentiale 20070919-1807.txt	55-79V, 5V
	Spannungswerte DA-AD	20070919-1816 - potentiale 68,5-75V.txt	ΔU=7V (halbiert)
	Spektren mit Gas	20070919-1824 - 4,2E-2mbar - 10 werte - 2V zum target - anderes gitter 66,1V - potentiale 20070919-1816.txt	55-79V, 5V
	Spannungswerte DA-AD	20070919-1828 - potentiale 68,5-75V.txt	
	Spannungswerte DA-AD	20070919-1841 - potentiale 71,75-75V.txt	ΔU=3,5V (halbiert)
	Spektren mit Gas	20070919-1853 - 4,2E-2mbar - 10 werte - 3V zum target - anderes gitter 71,5V - potentiale 20070919-1854.txt	65-91V, 1,5V
	Spannungswerte DA-AD	20070919-1854 - potentiale 71,75-75V.txt	
	Spannungswerte DA-AD	20070919-1931 - potentiale 71,85-75V.txt	
	Spannungswerte DA-AD	20070919-1953 - potentiale 71,75-75V.txt	
	Spektren mit Gas	20070919-1958 - 4,2E-2mbar - 10 werte - 2V zum target - anderes gitter 71,5V - potentiale 20070919-1953.txt	65-88V, 1,5V
	Spektren mit Gas	20070919-2005 - 2,3E-2mbar - 10 werte - 2V zum target - anderes gitter 71,5V - potentiale 20070919-1953.txt	65-91V, 1,5V
	Spannungswerte DA-AD	20070919-2015 - potentiale 44,75-48V.txt	Spannung runtergesetzt, bleibt (außer gewölbtes Gitter) bis zum Schluss
	Spektren mit Gas	20070919-2023 - 2,4E-2mbar - 10 werte - 2V zum target - anderes gitter 44,5V - potentiale 20070919-2015.txt	
	Spektren mit Gas	20070919-2028 - 2,4E-2mbar - 10 werte - 2V zum target - anderes gitter 44,5V - potentiale 20070919-2015.txt	
	Spektren mit Gas	20070919-2031 - 2,4E-2mbar - 10 werte - 2V zum target - anderes gitter 44,5V - potentiale 20070919-2015.txt	
	Spektren mit Gas	20070919-2035 - 2,4E-2mbar - 10 werte - 2V zum target - anderes gitter 44,5V - potentiale 20070919-2015.txt	34-91V, 1,5V
	Spektren mit Gas	20070919-2057 - **2,0**E-2mbar - 10 werte - 2V zum target - anderes gitter 44,5V - potentiale 20070919-2015.txt	23-91V, 1,5V
	Spektren ohne Gas	20070919-2115 - 2 werte - 2V zum target - 44,5V anderes Gitter - Potentiale 20070919-2015.txt	1-104V, 1V
	Spektren mit Gas	20070919-2146 - 2,5E-2mbar - 10 werte - 2V zum target - anderes gitter 44,5V - potentiale 20070919-2015.txt	1-86V, 0,5V
	Spannungswerte DA-AD	20070919-2229 - potentiale 44,75-48V.txt	Nur Potential d. Gewölbten Gitters geändert. Bleibt bis zum Schluss
	Scan Einfädeln	20070919-2336 - 225-303-3mm 10 werte - 20mm spalt - potentiale 20070919-2229.txt	
	Scan Einfädeln	20070919-2344 - 360-420-2mm 10 werte - 20mm spalt - potentiale 20070919-2229.txt	Zusammengefasst
	Scan Einfädeln	20070919-2352 - 420-480-2mm 10 werte - 20mm spalt - potentiale 20070919-2229.txt	Zusammengefasst
	Scan Einfädeln	20070919-2354 - 480-490-2mm 10 werte - 20mm spalt - potentiale 20070919-2229.txt	Zusammengefasst
	Scan Einfädeln	20070919-2344 - 360-490-2mm 10 werte - 20mm spalt - potentiale 20070919-2229.txt	

	*Spektren ohne Gas	20070919-2358 - gewölbtes gitter - 20 werte - 2V zum target - 44,5V anderes Gitter - Potentiale 20070919-2229.txt	2-101V, 5V
Do	*Spektren ohne Gas	20070920-0009 - gewölbtes gitter - 20 werte - 2V zum target - 44,5V anderes Gitter - Potentiale 20070919-2229.txt	80-101V, 1V
	Scans mit Gas	20070920-1008 - 44-490-2mm 150 werte - 2,3E-2mbar - 20mm spalt - potentiale 20070919-2229.txt	
	*Spektren mit Gas	20070920-1019 - 2,3E-2mbar - gewölbtes gitter - 10 werte - 2V zum target - anderes giter 44,5V - potentiale 20070919-2229.txt	40-60V, 0,5V
	*Spektren mit Gas	20070920-1030 - 2,3E-2mbar - gewölbtes gitter - 10 werte - 2V zum target - anderes giter 44,5V - potentiale 20070919-2229.txt	60-100V+203V, 10V, zu oberem
	Spektren mit Gas	20070920-1048 - 2,3E-2mbar - 30 werte - 2V zum target - anderes giter 44,5V - potentiale 20070919-2229.txt	40-61V, 0,5V
	Spektren mit Gas	20070920-1124 - 1,45E-2mbar - 10 werte - 2V zum target - anderes giter 44,5V - potentiale 20070919-2229.txt	40-101V, 0,5V
	Spektren mit Gas	20070920-1155 - 4,2E-2mbar - 60 werte - 2V zum target - anderes giter 44,5V - potentiale 20070919-2229.txt	32-64V, 0,5V
	Scans mit Gas	20070920-1437 - 144-410-2mm 30 werte - 4,1E-2mbar - 20mm spalt - potentiale 20070919-2229.txt	
	Spektren mit Gas	20070920-1441 - 3,7E-**3**mbar - 5 werte - 2V zum target - anderes giter 44,5V - potentiale 20070919-2229.txt	40-104V, 1V
	Druck-gegen-Zählrate	20070920-1453 vor frontplatte ca. 255mm - potentiale 20070919-2229.txt	
	Druck-gegen-Zählrate	20070920-1500 vor frontplatte 220mm - 60mm spalt- potentiale 20070919-2229.txt	
	Netzteileinstellungen	20070920-1606 Korrekturfelder 19+20.txt	

Anmerkungen zum Speicherdatum:
Scans: Datum des Speicherns nach dem Scan
Spektren und Druckmessungen: Datum des Startzeitpunkts

* = Spektrum am gewölbten Gitter am Trichtereingang gemessen
+ = Spektrum an der Frontplatte gemessen
# = an der Frontplatte die Bremsspannung variiert und am Target gemessen

Farben:
Druckmessungen
Scan Einfädeln (alle Scans ohne Gas)
Scans mit Gas
Spektren ohne Gas
Spektren mit Gas
Spannungswerte DA-AD
Netzteileinstellungen
Druck gegen Zählrate

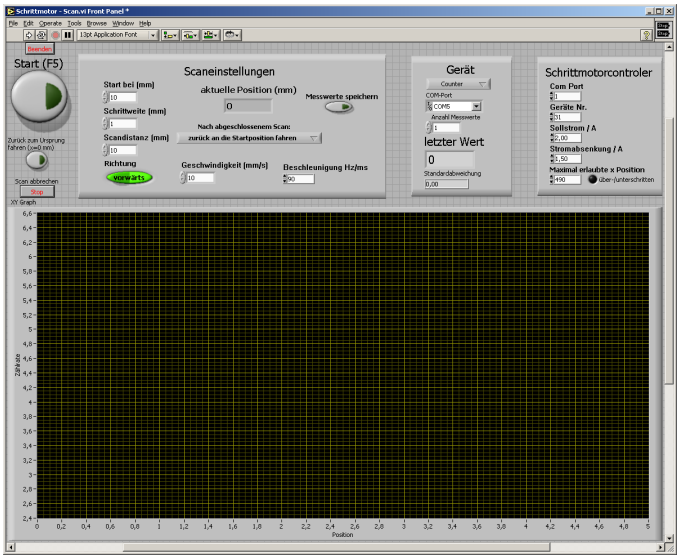

Abbildung A.2.: „Screenshot“ des Programms zur Steuerung des Linear-Scanners

A.4. Übersicht LabVIEW-Programme

Zur Durchführung der Messungen wurden im Rahmen der Diplomarbeit verschiedene Programme in der graphischen Programmiersprache LabVIEW[1] erstellt. Aus Wikipedia[2]:

> Haupt-Anwendungsgebiete von LabVIEW sind die Mess- und Automatisierungstechnik. Die Programmierung erfolgt mit einer graphischen Programmiersprache genannt „G“, nach dem Datenfluss-Modell. Durch diese Besonderheit eignet sich LabVIEW besonders gut zur Datenerfassung und -verarbeitung.
>
> LabVIEW-Programme werden als Virtuelle Instrumente oder einfach VIs bezeichnet. Sie bestehen aus zwei Komponenten: das Frontpanel enthält die Benutzerschnittstelle, das Blockdiagramm den graphischen Programmcode. Dieser wird nicht von einem Interpreter abgearbeitet, sondern kompiliert. Dadurch ist die Performance vergleichbar mit der anderer Hochsprachen.

Steuerung des Linear-Scanners

Für die Steuerung des Linear-Scanners zur Aufnahme der ortsabhängigen Annihilationsstrahlung wurde ein einfach zu bedienendes Programm entwickelt, dass

[1] **Lab**oratory **V**irtual **I**nstrumentation **E**ngineering **W**orkbench
[2] http://de.wikipedia.org/wiki/LabVIEW, Stand: 26.11.2007

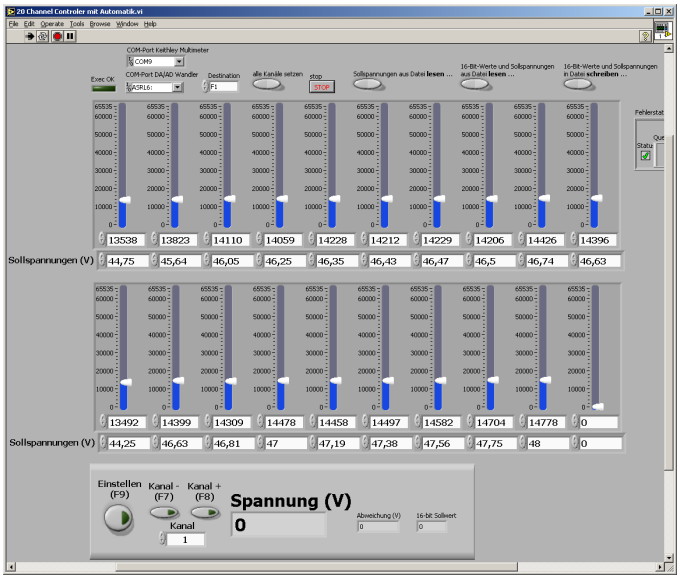

Abbildung A.3.: Programm zum Einstellen der Spannungen in der Gaszelle

nach Eingabe eines Startpunktes, einer Schrittweite und der Scandistanz beide NaI-Detektoren selbständig jeden Messpunkt anfährt und dabei eine einstellbare Zeit die Zählrate misst (siehe Abbildung A.2). Das Unterprogramm zum Auslesen des Zählers wurde so konzipiert, dass es sich auch leicht in andere Programme integrieren lässt.

DA/AD-Controller

Mit Hilfe eines Digital-Analog-Wandlers wurde ein Mehrkanal-Spannungsteiler geregelt über den wiederum die Potentiale in der Gaszelle sowie die Bremsspannung zur Analyse der Positronenenergien gesteuert wurden. Es wurde ein Programm erstellt (siehe Abbildung A.3), dass über ein Keithley 2000-Multimeter in der Lage ist die Spannung eines Kanals, entsprechend einer gegebenen Sollspannung, selbständig einzustellen. Für die Aufnahme der Bremsspektren wurde ein separates Programm erstellt, dass das Keithley-Multimeter benutzt um die eingestellte Bremsspannung präzise zu messen.

Druckauslese

Um den Druckverlauf im Inneren der Gaszelle und im Pumprohr zu überwachen wurde ein Programm erstellt, dass in der Lage ist den Druckverlauf von bis zu vier Drucksensoren aufzuzeichnen. Abbildung A.4 zeigt einen mit drei Sensoren aufgenommenen Druckverlauf über eine Dauer von etwa 5 Stunden.

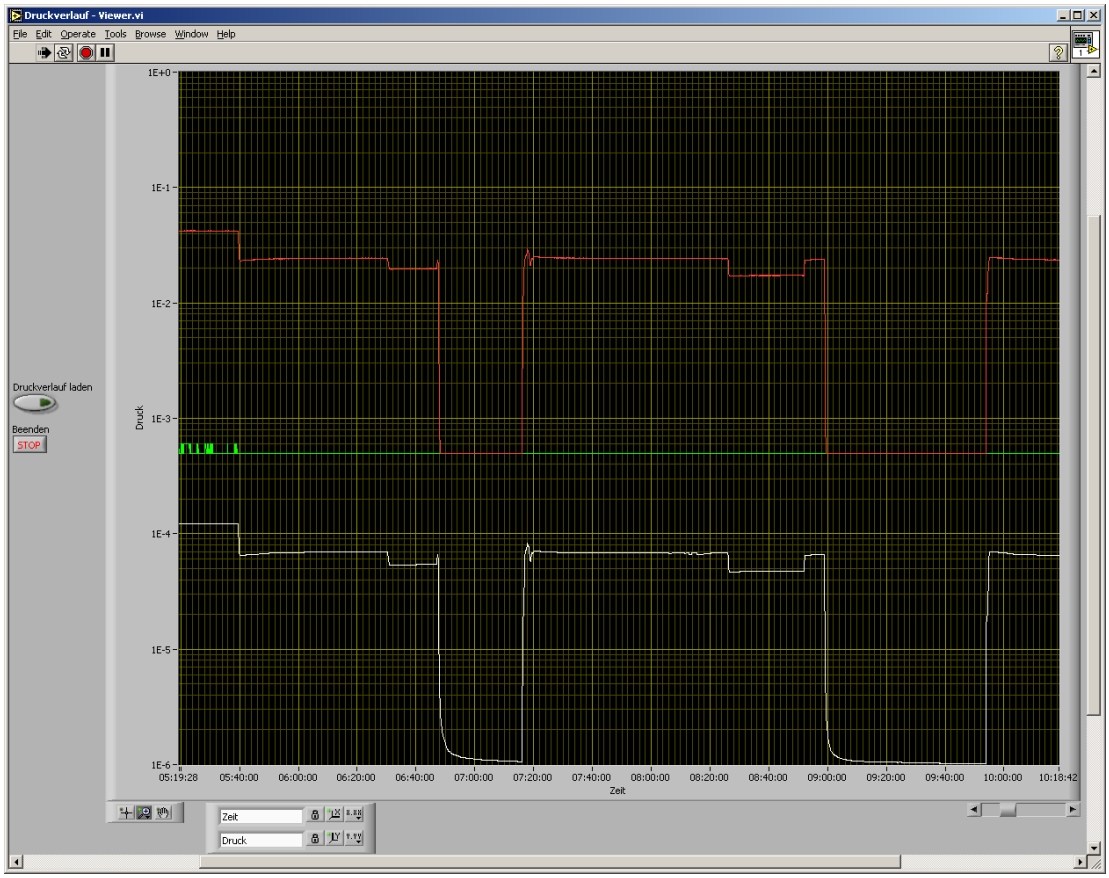

Abbildung A.4.: Druckverlauf

B. Literaturverzeichnis

[And33] Anderson, Carl D.: *The Positive Electron.* Phys. Rev., 43(6):491–494, Mar 1933.

[Blu00] Bluhme, Henrik: *Ionisation by Positron Impact.* Doktorarbeit, Institute of Physics and Astronomy, University of Aarhus, Denmark, April 2000.

[Bru06] Brunner, Thomas: *Spektrometer zur Untersuchung der temperaturabhängigen Positroniumbildung und materialabhängigen Moderationseffzienz.* Diplomarbeit, Physik Department E21, Technische Universität München, 2006.

[CDG+05] Cassidy, D. B., S. H. M. Deng, R. G. Greaves, T. Maruo, N. Nishiyama, J. B. Snyder, H. K. M. Tanaka und A. P. Mills Jr.: *Experiments with a High-Density Positronium Gas.* Physical Review Letters, 95(19):195006, 2005.

[CDGJ06] Cassidy, D. B., S. H. M. Deng, R. G. Greaves und A. P. Mills Jr.: *Accumulator for the production of intense positron pulses.* Review of Scientific Instruments, 77(7):073106, 2006.

[CDTJ06] Cassidy, D. B., S. H. M. Deng, H. K. M. Tanaka und A. P. Mills Jr.: *Single shot positron annihilation lifetime spectroscopy.* Applied Physics Letters, 88(19):194105, 2006.

[CGH81] Coleman, P. G., T. C. Griffith und G. R. Heyland: *Rotational excitation and momentum-transfer in slow positron-molecule collisions.* Journal of Physics B: Atomic, Molecular and Optical Physics, 14:2509–2517, 1981.

[Col00] Coleman, P.G. (Herausgeber): *Positron Beams and their applications.* World Scientific Publishing Co. Pte. Ltd., London, 2000.

[Dir30] Dirac, P. A. M.: *A Theory of Electrons and Protons.* Proceedings of the Royal Society of London. Series A, 126:360–365, 1930.

[Fuj07] Fujinami, M.: *The positron micropbobe for transmission positron microscope.* In: *SLOPOS-11*, 2007.

[Gro03] Gross, Rudolf: *Physik IV*. Walther-Meissner-Institut, Bayerische Akademie der Wissenschaften, Garching, http://www.wmi.badw.de/teaching/Lecturenotes/index.html, 2003.

[HDH+82] Hoffman, K. R., M. S. Dababneh, Y.-F. Hsieh, W. E. Kauppila, V. Pol, J. H. Smart und T. S. Stein: *Total-cross-section measurements for positrons and electrons colliding with H_2, N_2, and CO_2*. Phys. Rev. A, 25(3):1393–1403, März 1982.

[Her99] Hering, W. T.: *Angewandte Kernphysik*. B. G. Teubner, 1999.

[HKR+02] Hugenschmidt, C., G. Kögel, R. Repper, K. Schreckenbach, P. Sperr, B. Strasser und W. Triftshäuser: *Monoenergetic positron beam at the reactor based positron source at FRM-II*. Nuclear Instruments and Methods in Physics Research B, 192:97–101, Mai 2002.

[HSS02] Hugenschmidt, C., B. Strasser und K. Schreckenbach: *Investigation of positron work function and moderation efficiency of Ni, Ta, Pt and W(1 0 0)*. Applied Surface Science, 194(1-4):283–286, Juni 2002.

[HSSS06] Hugenschmidt, C., K. Schreckenbach, M. Stadlbauer und B. Strasser: *First positron experiments at NEPOMUC*. Applied Surface Science, 252:3098–3105, Februar 2006.

[KS82] Kauppila, W. E. und T. S. Stein: *Positron-gas cross-section measurements*. Canadian Journal of Physics, 60:471–493, 1982.

[Mar05] Marler, J. P.: *New Results for Positron Scattering from Noble Gas Atoms and Diatomic Molecules*. Doktorarbeit, University of California, San Diego, 2005.

[May06] Mayer, Jakob: *Durch Positronenannihilation induzierte Auger-Elektronenspektroskopie an Kupfer und Silizium*. Diplomarbeit, Physik Department E21, Technische Universität München, 2006.

[MS92] Murphy, T. J. und C. M. Surko: *Positron trapping in an electrostatic well by inelastic collisions with nitrogen molecules*. Phys. Rev. A, 46(9):5696–5705, November 1992.

[MS05] Marler, J. P. und C. M. Surko: *Positron-impact ionization, positronium formation, and electronic excitation cross sections for diatomic molecules*. Physical Review A (Atomic, Molecular, and Optical Physics), 72(6):062713, 2005.

[Mä00] Männig, Ulrike: *Defektuntersuchungen in Festkörpern mit der Bonner Positronen-Mikrosonde*. Doktorarbeit, Rheinische Friedrich - Wilhelms - Universität Bonn, 2000.

[Ore49] Ore, A.: *University of Bergen Yearbook, Naturvitensk. rekke Nr. 9*. 1949.

[Pio05] Piochacz, C.: *Entwicklung und Aufbau eines Transmissionsremoderators für Positronen*. Diplomarbeit, Physik Department E21, Technische Universität München, Mai 2005.

[PKE+07] Piochacz, C., G. Kögel, W. Egger, C. Hugenschmidt, J. Mayer, K. Schreckenbach, P. Sperr, M. Stadlbauer und G. Dollinger: *A positron remoderator for the high intensity positron source NEPOMUC*. Applied Surface Science, 2007. submitted.

[SGB05] Surko, C. M., G. F. Gribakin und S. J. Buckman: *Low-energy positron interactions with atoms and molecules*. Journal of Physics B: Atomic, Molecular and Optical Physics, 38(6):R57–R126, 2005.

[SL88] Schultz, P. J. und K. G. Lynn: *Interaction of positron beams with surfaces, thin films, and interfaces*. Rev. Mod. Phys., 60(3):701–779, Juli 1988.

[SLP89] Surko, C. M., M. Leventhal und A. Passner: *Positron Plasma in the Laboratory*. Phys. Rev. Lett., 62(8):901–904, Feb 1989.

[Str02] Strasser, Benno: *Aufbau einer Anlage zur positroneninduzierten Auger-Elektronenspektroskopie*. Doktorarbeit, Fakultät für Physik der Technischen Universität München, 2002.

[SW97] Schatz, G. und A. Weidinger: *Nukleare Festkörperphysik*. B. G. Teubner, Stuttgart, 1997.

[Tip00] Tippler, P. A.: *Physik*. Spektrum Akademischer Verlag, Heidelberg, 2000.